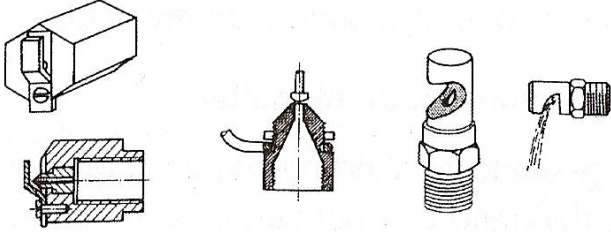
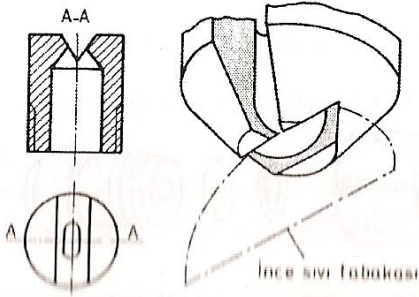


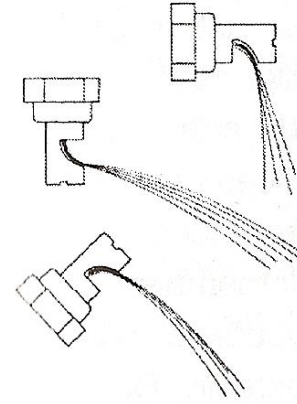
YELPAZE HÜZMELİ MEMELER



Şekil 54 Saptırmalı tip yelpaze hüzmeli meme (63)



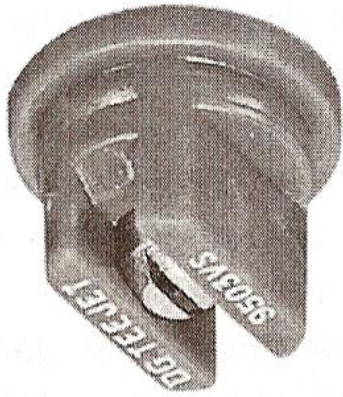
Şekil 56 Çarpma yüzeyli memede yelpaze hüzmanın oluşumu (10)



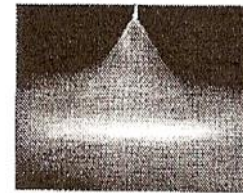
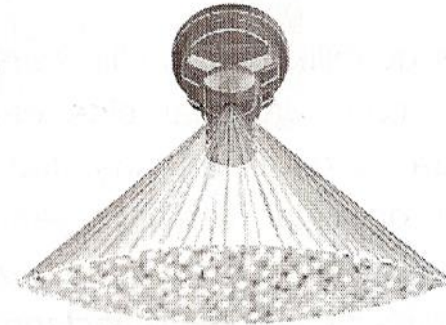
Şekil 57 Çarpma yüzeyli yelpaze hüzmeli memelerin takılma şekilleri (10)

Çarpma yüzeyli tip memeler, herbisit, narenciye için nemasit, sistemik insektisit

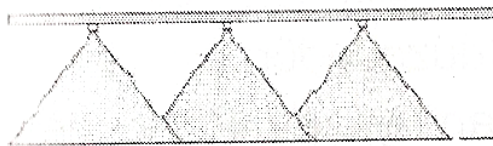




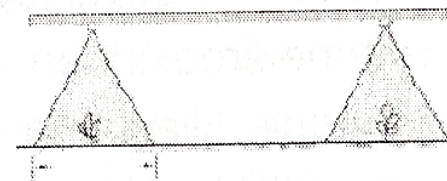
Şekil 58 Yarıkli tip yelpaze
hüzmeli meme (110)



Şekil 59 Yarıkli tip memelerden eliptik izli
yelpaze hüzmeye oluşması (110,
114)



Yüzey kaplayıcı ilaçlama

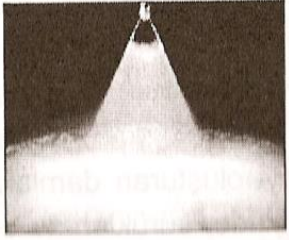


Sıra üzeri bant ilaçlama

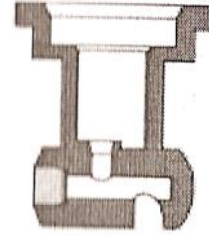
Şekil 60 Yarıkli tip yelpaze hüzmeli memelerle yüzey kaplama ve
bant ilaçlama

Yarıklı Tip Yelpaze Hüzmeli Memelerin Çeşitleri:

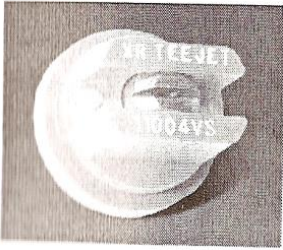
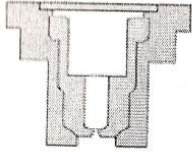
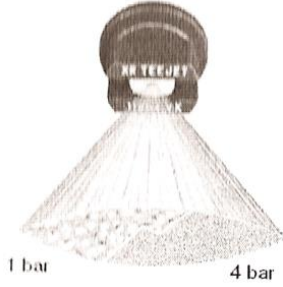
1. Dikdörtgen izli yelpaze hüzmeli meme,
2. Çalışma basınç sınır aralığı geniş olan yelpaze hüzmeli meme,
3. Ön orifisli yelpaze hüzmeli meme,
4. Hava karışım venturili (hava emişli) yelpaze hüzmeli meme,
5. Hava akımlı meme,
6. İki hüzmeli yelpaze hüzmeli meme,
7. Geniş açılı ve özel hüzme görüntülü yelpaze hüzmeli meme.



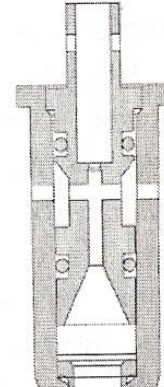
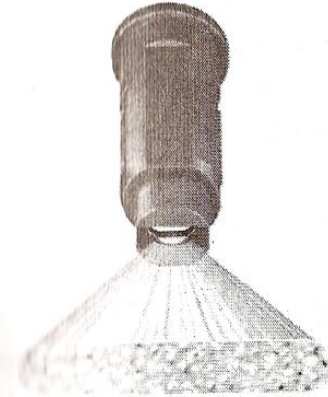
Şekil 62 Dikdörtgen izli yelpaze hüzmeli meme (10)



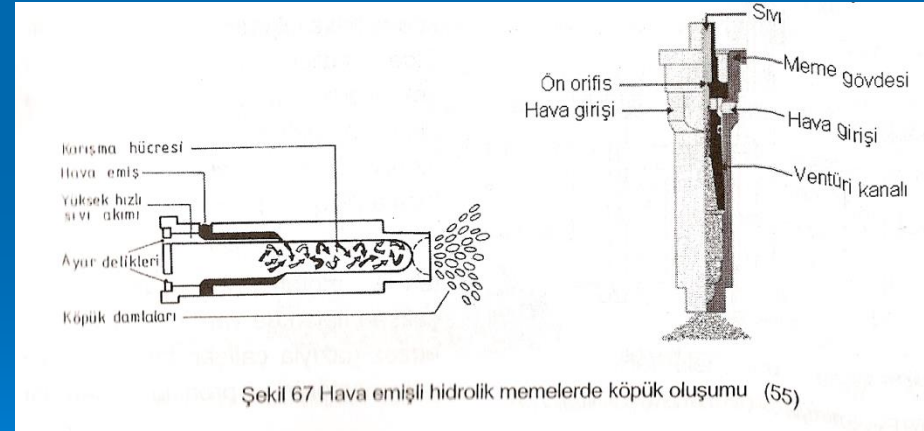
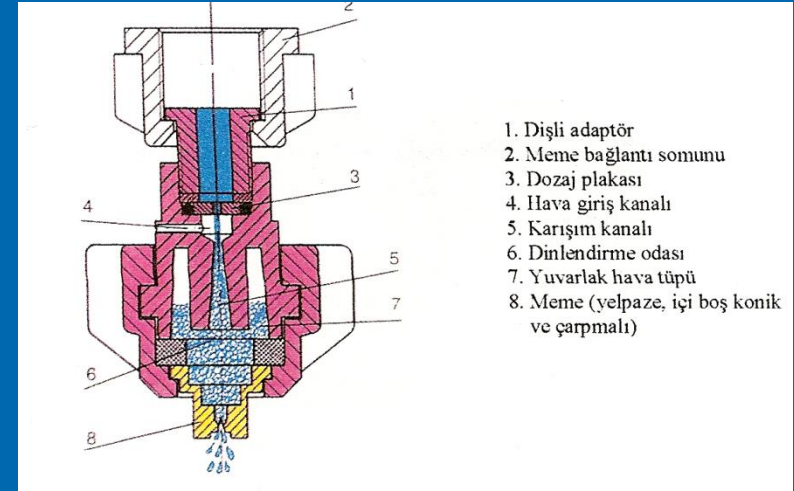
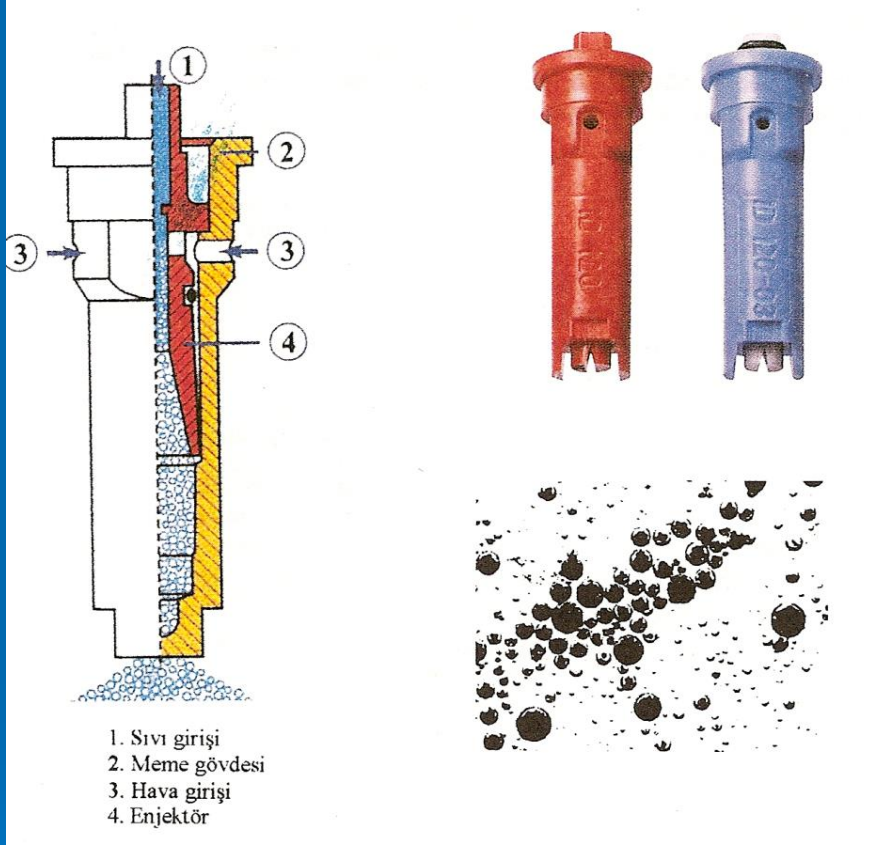
Şekil 64 Ön orifisli yelpaze hüzmeli meme (110)

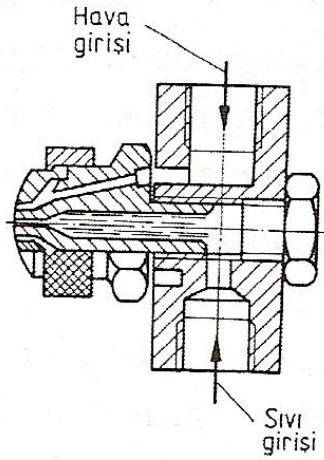


Şekil 63 Çalışma basınç sınır aralığı genişletilmiş yelpaze hüzmeli meme (110, 114)

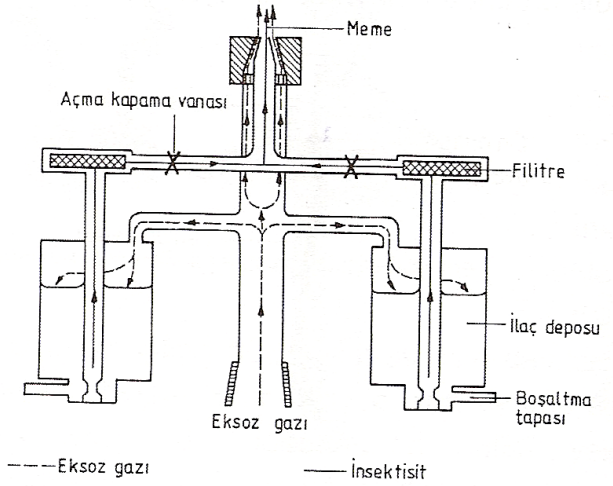


Şekil 66 Hava emişli yelpaze hüzmeli meme (110, 114)

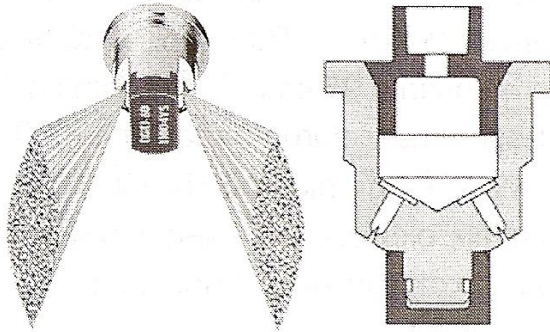




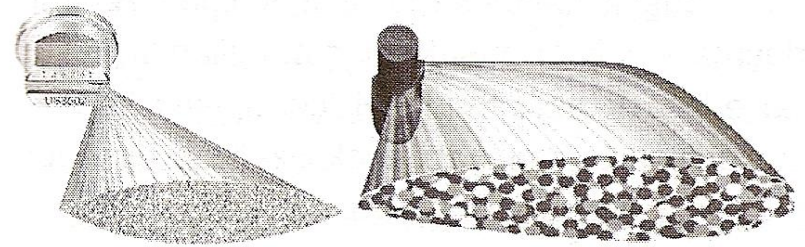
Şekil 68 Hava akımlı hidrolik meme (61)



Şekil 69 Eksoz gazıyla çalışan meme ve pülverizatör (69)

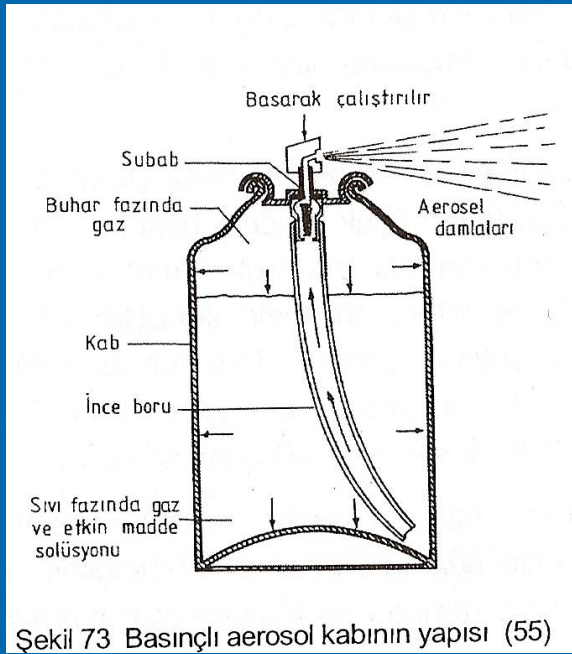


Şekil 70 İki hüzmeli yelpaze hüzmeli meme (110)

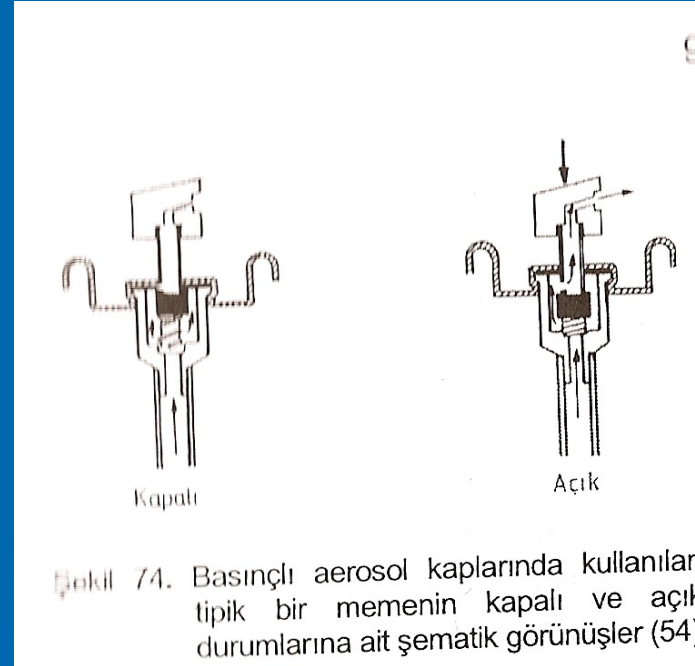


Şekil 71 Özel hüzmeye görüntülü yelpaze hüzmeli memeler (110)

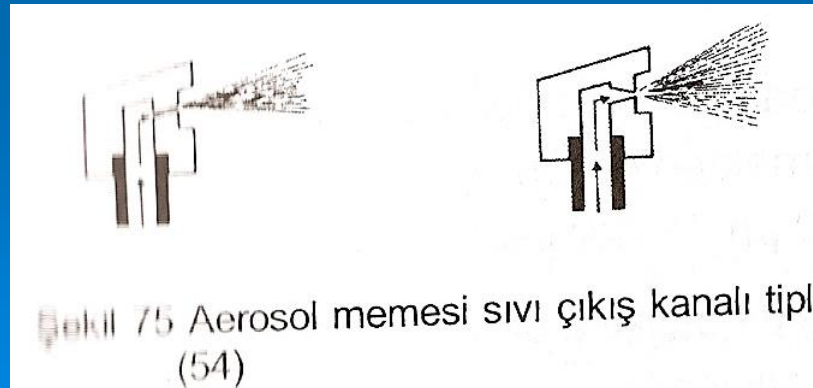
Basıncı Aerosol Kabı Memeleri



Şekil 73 Basıncı aerosol kabının yapısı (55)

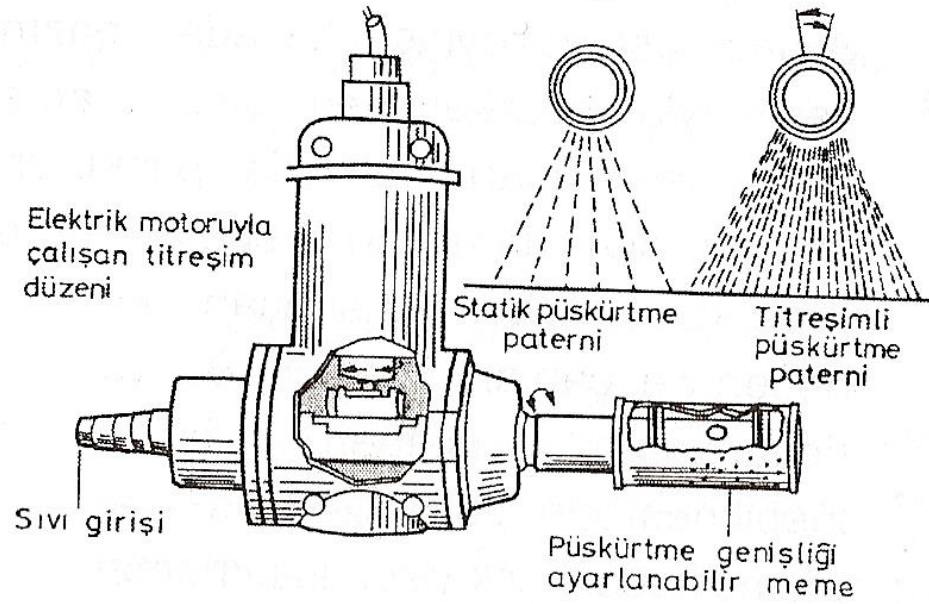


Şekil 74. Basıncı aerosol kaplarında kullanılan tipik bir memenin kapalı ve açık durumlarına ait şematik görüşler (54)



Şekil 75 Aerosol memesi sıvı çıkış kanalı tipleri (54)

Titreşimli Memeler



Şekil 76 Titreşimli memenin ana parçaları (55)

Hidrolik Memelerin Seçimi:

1. Ne pülverize edilecek? Pülverize edilecek ilacın cinsi (herbisit, fungusit vb), Emülsiyon, süspansiyon, ıslanabilir toz vb, Kontak etkili, sistemik etkili.
2. Ne zaman pülverize edilecek? Çıkış öncesi, çıkış sonrası.
3. Nasıl pülverize edilecek? Yüzey kaplama ilaçlaması ile, Bitki sıralarının bant şeklinde ilaçlanması ile, Direk ilaçlama, Yardımcı hava akımlı vb

Çizelge 34 Konik ve yelpaze hüzmeli memelerin iyilik dereceleri (97)

| Özellik | Meme tipi | | | |
|--|----------------------|---------------------|---------|------|
| | Konik hüzmeli tip | Yelpaze hüzmeli tip | | |
| | | saptırmalı | yarıklı | |
| | | | 80° | 110° |
| Tekdüzelik katsayısı (T_k) | 2-4 | 5-10 | 2-7 | 2-7 |
| Çıplak alanda hacimsel dağılım düzgünlüğü | --- | XX | XX | XXX |
| Bitki aralarına girebilme | XXX | X | XX | XX |
| İlacın rüzgârla hedef dışına sürüklenmemesi | --- | XXX | XX | XX |
| Püskürtme yüksekliği değişiminden etkilenmeme | --- | XXX | X | XXX |
| Orifis tıkanmasına dayanıklılık | XX | XXX | X | --- |
| Çıkış sonrası herbisit uygulamasında başarı | X | --- | XXX | XXX |
| Çıkış öncesi herbisit uygulamasında başarı | --- | XX | XXX | XXX |
| Anıza ekim sırasında herbisit uygulamasına uygunluk | --- | XX | XXX | XXX |
| Fungusit ve intektisit uygulamalarına uygunluk | XXX | --- | XX | XX |
| (---) Kötü, (X) Orta, (XX) İyi, (XXX) Çok iyi. | | | | |

Çizelge 35 Bazı memelerin çeşitli pestisit uygulamaları için uygunlukları (104, 114)

| Meme tipi | Herbisit | | | | Fungusit | | İnsektisit | |
|--|-------------------------|-------------------------|--------------------------|-----------------|---------------|-----------------|---------------|-----------------|
| | Toprak yüzey ilaçlaması | Çıkış öncesi ilaçlaması | Çıkış sonrası ilaçlaması | | Kontak etkili | Sistemik etkili | Kontak etkili | Sistemik etkili |
| | | | Kontak etkili | Sistemik etkili | | | | |
| Çalışma basınç aralığı genişletilmiş yelpaze hüzmesi >2 bar | | | XXX | X | XXX | X | XXX | X |
| Çalışma basınç aralığı genişletilmiş yelpaze hüzmesi <2 bar | X | X | X | XX | X | XX | X | XX |
| Ön orifisli geniş açılı yelpaze hüzmesi >2 bar | | | XX | XX | XX | XX | XX | XX |
| Ön orifisli geniş açılı yelpaze hüzmesi <2 bar | X | X | X | XXX | X | XXX | X | XXX |
| Hava karışım ventürüli yelpaze hüzmesi | XX | XX | X | XXX | X | XXX | X | XXX |
| İki hüzmeli yelpaze hüzmesi | | | XXX | | XXX | | XXX | |
| Ön orifisli çarpma yüzeyli geniş açılı yelpaze hüzmesi | XXX | XXX | | XX | | XX | | XX |
| x) İYİ xx) ÇOK İYİ xxx) MÜKEMMEL | | | | | | | | |

Çizelge 36 Farklı ilaçlama uygulamaları ve pestisit çeşitleri için bazı memelerin uygunlukları (114)

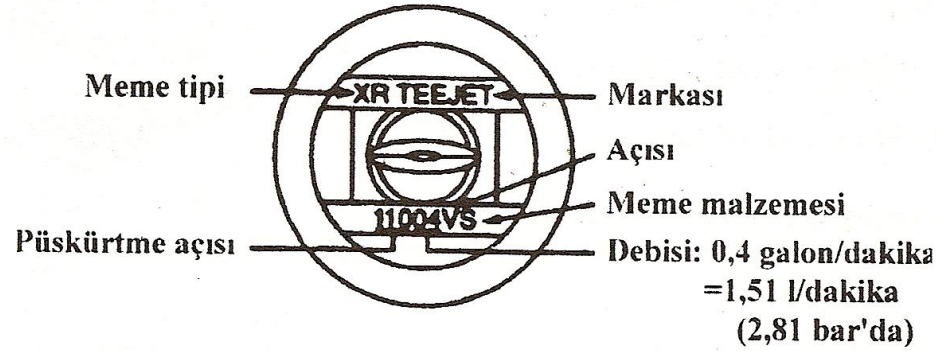
| İlaçlama Tipi | Meme tipi | Herbisit | | | Fungusit | | İnsektisit | |
|--|--|-------------------------|--------------------------|-----------------|---------------|-----------------|---------------|-----------------|
| | | Çıkış öncesi ilaçlaması | Çıkış sonrası ilaçlaması | | Kontak etkili | Sistemik etkili | Kontak etkili | Sistemik etkili |
| | | | Kontak etkili | Sistemik etkili | | | | |
| Sıra üzeri bant ilaçlama | Hava karışım ventürüli dikdörtgen izli yelpaze hüzmesi | XXX | X | XXX | X | XXX | X | XXX |
| | Dikdörtgen izli yelpaze hüzmesi | X | XX | X | XX | X | XX | X |
| | İki hüzmeli dikdörtgen izli yelpaze hüzmesi | | XXX | | XXX | | XXX | |
| Direk ilaçlama | Hava karışım ventürüli dikdörtgen izli yelpaze hüzmesi | XX | X | XXX | X | XXX | X | XX |
| | dikdörtgen izli yelpaze hüzmesi | X | X | X | X | X | X | X |
| | İki hüzmeli dikdörtgen izli yelpaze hüzmesi | | XX | | XX | | XX | |
| | Hava karışım ventürüli yelpaze hüzmesi | | X | XXX | X | XXX | X | XXX |
| | İç boş konik hüzmesi | | XXX | | XXX | | XXX | |
| Yardımcı hava akımlı | İç boş konik hüzmesi | | XXX | X | XXX | X | XXX | X |
| x) İYİ xx) ÇOK İYİ xxx) MÜKEMMEL | | | | | | | | |

Hidrolik Memelerin Önemli Özellikleri:

1. Meme debisi yaklaşık olarak, püskürtme basıncının kareköküyle doğru orantılıdır. (Diğer çalışma özellikleri değiştirilmeden debinin iki kat artması için püskürtme basıncı dört kat artmalıdır.)
2. Meme orifisinden çıkan sıvı hızının hızı, püskürtme basıncının karekökü ile doğru orantılıdır.
3. Damlaların ortalama çapı, meme delik çapıyla doğru orantılıdır.
4. Damlaların ortalama çapı, sıvının kinetik viskozitesi (akmazlık) ile doğru orantılıdır.
5. Damlaların ortalama çapı, sıvının özgül ağırlığı ile doğru orantılıdır.
6. Püskürtme hızının tepe açısı, meme delik çapıyla doğru orantılı olarak değişir.
7. Püskürtme hızının tepe açısı ile damla büyüklüğü arasında ters orantı vardır.
8. Girdap hücreesindeki sıvının girdap hareketi sırasındaki hızı arttıkça, damlaların büyüklükleri arasındaki sapma azalır.
9. Meme delik çapı küçüldükçe, damla büyüklükleri arasındaki sapma azalır.

Hidrolik Memelerin Numaralanması

Genel olarak meme plakası ya da başlığındaki delik çapı meme numarasıdır. Metrik sistemde meme numarası 3 ise meme delik çapı 3 mm demektir. Anglo-Amerikan sistemde meme numarası 3 ise, delik açısı $3 \times 1/64$ inç = 0,79 mm'dir.



Aşağıda değişik meme imalatçıları tarafından kullanılan kodlama sistemlerine ilişkin örnekler verilmiştir.

Örnek 1. Albuz API 11003 Mavi kodlu meme yelpaze meme olup;

| | |
|-----------------|--|
| Malzemesi | : API (alüminyum hamuru) |
| Püskürtme açısı | : 110° |
| Debi kodu | : 03 Galon ($0,3 \times 3,8 = 1,2$ l/dakika) 3 bar'da |
| Rengi | : Mavi |

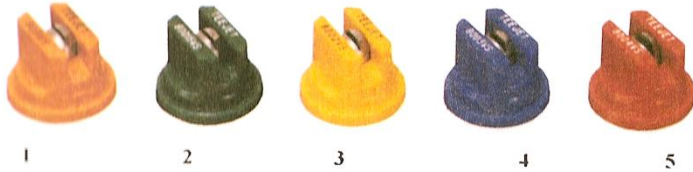
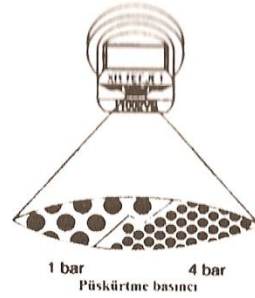
* XR Teejet yelpaze meme

* Geniş basınç aralığında (1-4 bar) iyi bir dağılım.

* Düşük basınçlarda daha az drift, yüksek basınçlarda daha iyi kaplama.

* Püskürtme açıları 80°-110°'dir.

* Her basınç ve meme büyüklüğünde iyi, orta ve ince damlacıklar.



| Model | Bar | I/Saat (h) | Uha $\Delta 50$ cm | | | | | | | | | | | | | | | |
|--------------------------------|-----|------------|--------------------|------|------|------|------|------|------|------|------|------|------|------|------|------|------|------|
| | | | 4 | 5 | 6 | 7 | 8 | 10 | 12 | 16 | 18 | 20 | 25 | 30 | 35 | 40 | 45 | 50 |
| 1. XR8001 NR11001 (100 mesh) | 1.0 | 0.23 | 69.0 | 55.2 | 46.0 | 39.4 | 34.5 | 27.6 | 23.0 | 17.3 | 15.3 | 13.8 | 11.0 | 9.2 | 7.9 | 6.8 | 5.8 | 5.0 |
| | 1.5 | 0.28 | 84.0 | 67.2 | 56.0 | 48.0 | 42.0 | 33.6 | 28.0 | 21.0 | 18.7 | 16.8 | 13.4 | 11.2 | 9.6 | 8.4 | 7.2 | 6.0 |
| | 2.0 | 0.32 | 96.0 | 76.8 | 64.0 | 54.9 | 48.0 | 38.4 | 32.0 | 24.0 | 21.3 | 19.2 | 15.4 | 12.8 | 11.0 | 9.6 | 8.4 | 7.2 |
| | 3.0 | 0.39 | 117 | 93.6 | 78.0 | 66.9 | 58.5 | 46.8 | 39.0 | 29.3 | 26.0 | 23.4 | 18.7 | 15.6 | 13.4 | 11.2 | 9.6 | 8.4 |
| | 4.0 | 0.45 | 135 | 108 | 90.0 | 77.1 | 67.5 | 54.0 | 45.0 | 33.8 | 30.0 | 27.0 | 21.6 | 18.0 | 15.4 | 13.2 | 11.4 | 9.6 |
| 2. NR8001S NR11001S (100 mesh) | 1.0 | 0.34 | 102 | 81.6 | 68.0 | 58.3 | 51.0 | 40.8 | 34.0 | 25.5 | 22.7 | 20.4 | 16.3 | 13.6 | 11.7 | 10.2 | 8.8 | 7.5 |
| | 1.5 | 0.42 | 126 | 101 | 84.0 | 72.0 | 63.0 | 50.4 | 42.0 | 31.5 | 28.0 | 25.2 | 20.2 | 16.8 | 14.4 | 12.6 | 10.8 | 9.2 |
| | 2.0 | 0.48 | 144 | 115 | 96.0 | 82.3 | 72.0 | 57.6 | 48.0 | 36.0 | 32.0 | 28.8 | 23.0 | 19.2 | 16.5 | 14.4 | 12.4 | 10.8 |
| | 3.0 | 0.59 | 177 | 142 | 118 | 101 | 88.5 | 70.8 | 59.0 | 44.3 | 39.3 | 35.4 | 28.3 | 23.6 | 20.2 | 17.8 | 15.4 | 13.4 |
| | 4.0 | 0.68 | 204 | 163 | 136 | 117 | 102 | 81.6 | 68.0 | 51.0 | 45.3 | 40.8 | 32.6 | 27.2 | 23.3 | 20.4 | 17.8 | 15.4 |
| 3. NR8002 NR11002 (50 mesh) | 1.0 | 0.46 | 138 | 110 | 92.0 | 78.9 | 69.0 | 55.2 | 46.0 | 34.5 | 30.7 | 27.6 | 22.1 | 18.4 | 15.8 | 13.8 | 11.8 | 10.2 |
| | 1.5 | 0.56 | 168 | 134 | 112 | 96.0 | 84.0 | 67.2 | 56.0 | 42.0 | 37.3 | 33.6 | 26.9 | 22.4 | 19.2 | 16.8 | 14.4 | 12.4 |
| | 2.0 | 0.65 | 195 | 156 | 130 | 111 | 97.5 | 78.0 | 65.0 | 48.8 | 43.3 | 39.0 | 31.2 | 26.0 | 22.3 | 19.6 | 16.8 | 14.4 |
| | 3.0 | 0.79 | 237 | 190 | 158 | 135 | 119 | 94.8 | 79.0 | 59.3 | 52.7 | 47.4 | 37.9 | 31.6 | 27.1 | 23.6 | 20.4 | 17.8 |
| | 4.0 | 0.91 | 273 | 218 | 182 | 156 | 137 | 109 | 91.0 | 68.3 | 60.7 | 54.6 | 43.7 | 36.4 | 31.2 | 27.2 | 23.6 | 20.4 |
| 4. NR8003 NR11003 (50 mesh) | 1.0 | 0.68 | 204 | 163 | 136 | 117 | 102 | 81.6 | 68.0 | 51.0 | 45.3 | 40.8 | 32.6 | 27.2 | 23.3 | 20.4 | 17.8 | 15.4 |
| | 1.5 | 0.83 | 249 | 199 | 166 | 142 | 125 | 100 | 83.0 | 62.3 | 55.3 | 49.8 | 39.8 | 33.2 | 28.5 | 24.4 | 20.8 | 18.2 |
| | 2.0 | 0.96 | 288 | 230 | 192 | 165 | 144 | 115 | 96.0 | 72.0 | 64.0 | 57.6 | 46.1 | 38.4 | 32.9 | 28.4 | 24.4 | 20.8 |
| | 3.0 | 1.18 | 354 | 283 | 236 | 202 | 177 | 142 | 118 | 88.5 | 78.7 | 70.8 | 56.6 | 47.2 | 40.5 | 35.4 | 30.8 | 26.8 |
| | 4.0 | 1.36 | 408 | 326 | 272 | 233 | 204 | 163 | 136 | 102 | 90.7 | 81.6 | 65.3 | 54.4 | 46.6 | 40.8 | 35.4 | 30.8 |
| 5. NR8004 NR11004 (50 mesh) | 1.0 | 0.91 | 273 | 218 | 182 | 156 | 137 | 109 | 91.0 | 68.3 | 60.7 | 54.6 | 43.7 | 36.4 | 31.2 | 27.2 | 23.6 | 20.4 |
| | 1.5 | 1.12 | 336 | 269 | 224 | 192 | 168 | 134 | 112 | 84.0 | 74.7 | 67.2 | 53.8 | 44.8 | 38.4 | 33.2 | 28.8 | 24.4 |
| | 2.0 | 1.29 | 387 | 310 | 258 | 221 | 194 | 155 | 129 | 96.8 | 86.0 | 77.4 | 61.9 | 51.6 | 44.2 | 38.4 | 33.2 | 28.8 |
| | 3.0 | 1.58 | 474 | 379 | 316 | 271 | 237 | 190 | 158 | 119 | 105 | 94.8 | 75.8 | 63.2 | 54.2 | 47.2 | 40.8 | 35.4 |
| | 4.0 | 1.82 | 546 | 437 | 364 | 312 | 273 | 218 | 182 | 137 | 121 | 109 | 87.4 | 72.8 | 62.4 | 54.4 | 47.2 | 40.8 |



1. İki meme arası mesafe
2. Optimal püskürtme yüksekliği

* Standart Teejet yelpaze meme

* Çalışma basınç aralığı: 2-4 bar.

* Keramik olanlarda: 20 bar'a kadar.

* Püskürtme açısı: 80°-110°

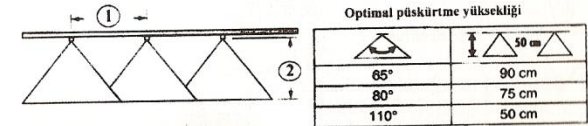
* Keramik olanlarda: 80°

* Pirinç, paslanmaz çelik ve sertleştirilmiş çelikten yapılmış olanlarında renk kodu yoktur. Bunlarda püskürtme açıları: 65°-80° ve 110°'dir.

* Ilacı bitki yüzeyine iyi nüfuz ettirirler, kaplamaları düzgündür.



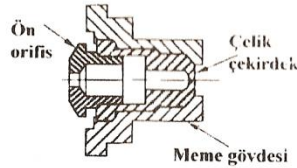
| Model | Bar | I/dak. | Uha $\Delta 50$ cm | | | | | | | | | | | | | | | |
|---|-----|--------|--------------------|------|------|------|------|------|------|------|------|------|------|------|------|------|------|------|
| | | | 4 | 5 | 6 | 7 | 8 | 10 | 12 | 16 | 18 | 20 | 25 | 30 | 35 | 40 | 45 | 50 |
| 1. TP650067 TP800067 (100 mesh) | 2.0 | 0.21 | 63.0 | 50.4 | 42.0 | 36.0 | 31.5 | 25.2 | 21.0 | 15.8 | 14.0 | 12.6 | 10.1 | 8.4 | 7.2 | 6.0 | 5.2 | 4.4 |
| | 2.5 | 0.24 | 72.0 | 57.6 | 48.0 | 41.1 | 36.0 | 28.8 | 24.0 | 18.0 | 16.0 | 14.4 | 11.5 | 9.6 | 8.2 | 7.0 | 6.2 | 5.4 |
| | 3.0 | 0.26 | 84.0 | 67.2 | 56.0 | 48.0 | 42.0 | 33.6 | 28.0 | 21.0 | 18.7 | 16.8 | 13.4 | 11.2 | 9.6 | 8.4 | 7.2 | 6.0 |
| | 3.5 | 0.28 | 96.0 | 76.8 | 64.0 | 54.9 | 48.0 | 38.4 | 32.0 | 24.0 | 21.3 | 19.2 | 15.4 | 12.8 | 11.0 | 9.6 | 8.4 | 7.2 |
| | 4.0 | 0.30 | 108 | 86.4 | 72.0 | 61.7 | 54.0 | 43.2 | 36.0 | 27.0 | 24.0 | 21.6 | 17.3 | 14.4 | 12.4 | 10.8 | 9.2 | 7.8 |
| 2. TP6501* TP8001 TP11001 (100 mesh) | 2.0 | 0.32 | 96.0 | 76.8 | 64.0 | 54.9 | 48.0 | 38.4 | 32.0 | 24.0 | 21.3 | 19.2 | 15.4 | 12.8 | 11.0 | 9.6 | 8.4 | 7.2 |
| | 2.5 | 0.36 | 108 | 86.4 | 72.0 | 61.7 | 54.0 | 43.2 | 36.0 | 27.0 | 24.0 | 21.6 | 17.3 | 14.4 | 12.4 | 10.8 | 9.2 | 7.8 |
| | 3.0 | 0.39 | 117 | 93.6 | 78.0 | 66.9 | 58.5 | 46.8 | 39.0 | 29.3 | 26.0 | 23.4 | 18.7 | 15.6 | 13.4 | 11.2 | 9.6 | 8.4 |
| | 3.5 | 0.42 | 126 | 101 | 84.0 | 72.0 | 63.0 | 50.4 | 42.0 | 31.5 | 28.0 | 25.2 | 20.2 | 16.8 | 14.4 | 12.6 | 10.8 | 9.2 |
| | 4.0 | 0.45 | 135 | 108 | 90.0 | 77.1 | 67.5 | 54.0 | 45.0 | 33.8 | 30.0 | 27.0 | 21.6 | 18.0 | 15.4 | 13.2 | 11.4 | 9.6 |
| 3. TP6501S* TP8001S TP11001S (100 mesh) | 2.0 | 0.48 | 144 | 115 | 96.0 | 82.3 | 72.0 | 57.6 | 48.0 | 36.0 | 32.0 | 28.8 | 23.0 | 19.2 | 16.5 | 14.4 | 12.4 | 10.8 |
| | 2.5 | 0.54 | 162 | 130 | 108 | 92.6 | 81.0 | 64.8 | 54.0 | 40.5 | 36.0 | 32.4 | 25.9 | 21.6 | 18.6 | 16.2 | 14.2 | 12.2 |
| | 3.0 | 0.59 | 177 | 142 | 118 | 101 | 88.5 | 70.8 | 59.0 | 44.3 | 39.3 | 35.4 | 28.3 | 23.6 | 20.2 | 17.8 | 15.4 | 13.4 |
| | 3.5 | 0.64 | 192 | 154 | 128 | 110 | 96.0 | 78.0 | 64.0 | 48.0 | 42.7 | 38.4 | 30.7 | 25.6 | 21.9 | 18.8 | 16.2 | 14.2 |
| | 4.0 | 0.68 | 204 | 163 | 136 | 117 | 102 | 81.6 | 68.0 | 51.0 | 45.3 | 40.8 | 32.6 | 27.2 | 23.3 | 20.4 | 17.8 | 15.4 |
| 4. TP6502* TP8002 TP11002 (50 mesh) | 2.0 | 0.65 | 195 | 156 | 130 | 111 | 97.5 | 78.0 | 65.0 | 48.8 | 43.3 | 39.0 | 31.2 | 26.0 | 22.3 | 19.6 | 16.8 | 14.4 |
| | 2.5 | 0.72 | 216 | 173 | 144 | 123 | 108 | 86.4 | 72.0 | 54.0 | 48.0 | 43.2 | 34.6 | 28.8 | 24.4 | 20.8 | 18.2 | 15.8 |
| | 3.0 | 0.79 | 237 | 190 | 158 | 135 | 119 | 94.8 | 79.0 | 59.3 | 52.7 | 47.4 | 37.9 | 31.6 | 27.1 | 23.6 | 20.4 | 17.8 |
| | 3.5 | 0.85 | 255 | 204 | 170 | 146 | 128 | 102 | 85.0 | 63.8 | 56.7 | 51.0 | 40.8 | 34.0 | 29.1 | 24.4 | 20.8 | 18.2 |
| | 4.0 | 0.91 | 273 | 218 | 182 | 156 | 137 | 109 | 91.0 | 68.3 | 60.7 | 54.6 | 43.7 | 36.4 | 31.2 | 27.2 | 23.6 | 20.4 |
| 5. TP6503* TP8003 TP11003 (50 mesh) | 2.0 | 0.96 | 288 | 230 | 192 | 165 | 144 | 115 | 96.0 | 72.0 | 64.0 | 57.6 | 46.1 | 38.4 | 32.9 | 28.4 | 24.4 | 20.8 |
| | 2.5 | 1.08 | 324 | 259 | 216 | 185 | 162 | 130 | 108 | 81.0 | 72.0 | 64.8 | 51.8 | 43.2 | 37.0 | 31.6 | 27.2 | 23.6 |
| | 3.0 | 1.18 | 354 | 283 | 236 | 202 | 177 | 142 | 118 | 88.5 | 78.7 | 70.8 | 56.6 | 47.2 | 40.5 | 35.4 | 30.8 | 26.8 |
| | 3.5 | 1.27 | 381 | 305 | 254 | 218 | 191 | 152 | 127 | 95.3 | 84.7 | 76.2 | 61.0 | 50.8 | 43.5 | 37.8 | 32.4 | 28.0 |
| | 4.0 | 1.36 | 408 | 326 | 272 | 233 | 204 | 163 | 136 | 102 | 90.7 | 81.6 | 65.3 | 54.4 | 46.6 | 40.8 | 35.4 | 30.8 |



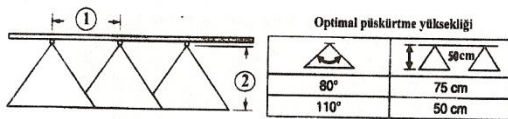
1. İki meme arası mesafe
2. Optimal püskürtme yüksekliği

DC (Drift İtleyici) Teejet yelpaze meme

Karılabilir ön orifisle büyük damlacıklar oluşturur. İste maruz kalacak küçük damlacıkları azaltır. Bu ile hedef dışı bulaşmaları en aza indirir, İşma basıncı: 1,5-6 bardır, Püskürtme açısı: 80°-110° arasında değişir, Karılabilir ön orifis nedeniyle kolay temizleme mümkündür, Aşınmaları en az düzeydedir.



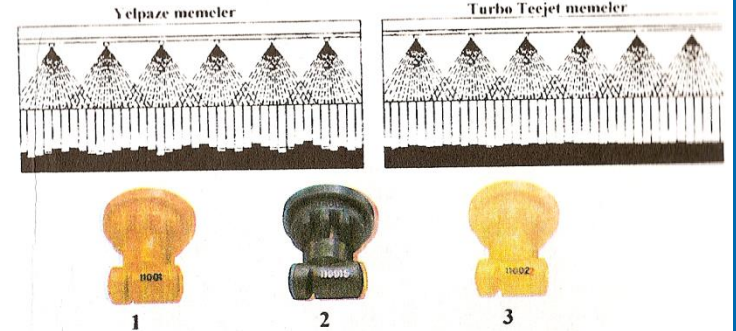
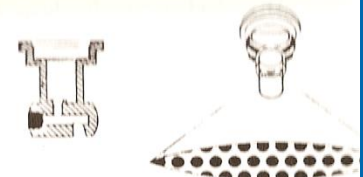
| I/ha | bar | l/dak | 50 cm | | | | | | | | | | | | | | | |
|---------------------------------------|-----|-------|-------|-----|------|------|------|------|------|------|------|------|------|------|------|------|------|------|
| | | | 4 | 5 | 6 | 7 | 8 | 10 | 12 | 16 | 18 | 20 | 25 | 30 | 35 | 40 | 45 | 50 |
| 1. DG80015* DG110015 (100 mesh) | 2.0 | 0.48 | 144 | 115 | 96.0 | 82.3 | 72.0 | 57.6 | 48.0 | 36.0 | 32.0 | 28.8 | 23.0 | 19.2 | 16.5 | 14.4 | 12.8 | 11.2 |
| | 2.5 | 0.54 | 162 | 130 | 108 | 92.6 | 81.0 | 64.8 | 54.0 | 40.5 | 36.0 | 32.4 | 25.9 | 21.6 | 18.5 | 16.2 | 14.4 | 12.8 |
| | 3.0 | 0.59 | 177 | 142 | 118 | 101 | 88.5 | 70.8 | 59.0 | 44.3 | 39.3 | 35.4 | 28.3 | 23.6 | 20.2 | 17.8 | 15.6 | 13.4 |
| | 4.0 | 0.68 | 204 | 163 | 136 | 117 | 102 | 81.6 | 68.0 | 51.0 | 45.3 | 40.8 | 32.6 | 27.2 | 23.3 | 20.4 | 18.0 | 15.6 |
| | 5.0 | 0.76 | 228 | 182 | 152 | 130 | 114 | 91.2 | 76.0 | 57.0 | 50.7 | 45.6 | 36.5 | 30.4 | 26.1 | 22.8 | 20.0 | 17.2 |
| 2. DG8002* DG11002 (50 mesh) | 2.0 | 0.65 | 195 | 156 | 130 | 111 | 97.5 | 78.0 | 65.0 | 48.8 | 43.3 | 39.0 | 31.2 | 26.0 | 22.3 | 19.5 | 17.2 | 15.0 |
| | 2.5 | 0.72 | 216 | 173 | 144 | 123 | 108 | 86.4 | 72.0 | 54.0 | 48.0 | 43.2 | 34.6 | 28.8 | 24.7 | 21.6 | 19.2 | 16.8 |
| | 3.0 | 0.79 | 237 | 190 | 158 | 135 | 119 | 94.8 | 79.0 | 59.3 | 52.7 | 47.4 | 37.9 | 31.6 | 27.1 | 23.8 | 21.2 | 18.8 |
| | 4.0 | 0.91 | 273 | 218 | 182 | 156 | 137 | 109 | 91.0 | 68.3 | 60.7 | 54.6 | 43.7 | 36.4 | 31.2 | 27.6 | 24.8 | 21.6 |
| | 5.0 | 1.02 | 306 | 245 | 204 | 175 | 153 | 122 | 102 | 76.5 | 68.0 | 61.2 | 49.0 | 40.8 | 35.0 | 31.2 | 28.0 | 24.8 |
| 3. DG8003* DG11003 (50 mesh) | 2.0 | 0.96 | 288 | 230 | 192 | 165 | 144 | 115 | 96.0 | 72.0 | 64.0 | 57.6 | 46.1 | 38.4 | 32.9 | 29.2 | 26.0 | 22.8 |
| | 2.5 | 1.08 | 324 | 259 | 216 | 185 | 162 | 130 | 108 | 81.0 | 72.0 | 64.8 | 51.8 | 43.2 | 37.0 | 32.8 | 29.2 | 25.6 |
| | 3.0 | 1.18 | 354 | 283 | 236 | 202 | 177 | 142 | 118 | 88.5 | 78.0 | 70.8 | 56.6 | 47.2 | 40.5 | 35.6 | 31.6 | 27.6 |
| | 4.0 | 1.36 | 408 | 326 | 272 | 233 | 204 | 163 | 136 | 102 | 90.7 | 81.6 | 65.3 | 54.4 | 46.6 | 40.8 | 36.4 | 32.0 |
| | 5.0 | 1.52 | 456 | 365 | 304 | 261 | 228 | 182 | 152 | 114 | 101 | 91.2 | 73.0 | 60.8 | 52.1 | 45.2 | 40.4 | 35.6 |
| 4. DG8004* DG11004 (50 mesh) | 2.0 | 1.29 | 387 | 310 | 258 | 221 | 194 | 155 | 129 | 96.8 | 86.0 | 77.4 | 61.9 | 51.6 | 44.2 | 39.2 | 34.8 | 30.4 |
| | 2.5 | 1.44 | 432 | 346 | 288 | 247 | 216 | 173 | 144 | 108 | 96.0 | 86.4 | 69.1 | 57.6 | 49.4 | 43.2 | 38.8 | 34.4 |
| | 3.0 | 1.58 | 474 | 379 | 316 | 271 | 237 | 190 | 158 | 119 | 105 | 94.8 | 75.8 | 63.2 | 54.2 | 47.2 | 42.4 | 37.6 |
| | 4.0 | 1.82 | 546 | 437 | 364 | 312 | 273 | 218 | 182 | 137 | 121 | 109 | 87.4 | 72.8 | 62.4 | 54.4 | 48.8 | 43.2 |
| | 5.0 | 2.04 | 612 | 490 | 408 | 350 | 306 | 245 | 204 | 153 | 136 | 122 | 97.9 | 81.6 | 69.9 | 60.4 | 54.4 | 48.8 |
| 5. DG9005* DG11005 (50 mesh) | 2.0 | 1.61 | 483 | 386 | 322 | 276 | 242 | 193 | 161 | 121 | 107 | 96.6 | 77.3 | 64.4 | 55.2 | 48.4 | 43.6 | 38.8 |
| | 2.5 | 1.80 | 540 | 432 | 360 | 309 | 270 | 216 | 180 | 135 | 120 | 108 | 86.4 | 72.0 | 61.7 | 53.6 | 48.4 | 43.2 |
| | 3.0 | 1.97 | 591 | 473 | 394 | 338 | 296 | 236 | 197 | 148 | 131 | 118 | 94.6 | 78.8 | 67.5 | 59.2 | 53.6 | 48.0 |
| | 4.0 | 2.27 | 681 | 545 | 454 | 389 | 341 | 272 | 227 | 170 | 151 | 136 | 109 | 90.8 | 77.8 | 68.4 | 62.4 | 56.0 |
| | 5.0 | 2.54 | 762 | 610 | 508 | 435 | 381 | 305 | 254 | 191 | 169 | 152 | 122 | 102 | 87.1 | 76.4 | 70.4 | 64.0 |



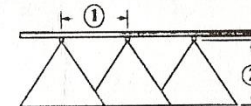
1. İki meme arası mesafe
2. Optimal püskürtme yüksekliği

* Turbo Teejet yelpaze meme

- * Damlacık çapları 2 barda 150 µm'dur.
- * 1-3 bar basınçta iri damlalar sıkılaşma (drift) tehlikesini azaltır.
- * 1-6 bar basınçlarda enine dağılımı çok iyidir.
- * Yuvarlak, büyük sıvı akış kanalından dolayı daha az tıkanma problemi.
- * Aşınma ve korozyona dayanıklıdır.



| I/ha | bar | l/dak | 50 cm | | | | | | | | | | | | | | | |
|------------------------------|-----|-------|-------|------|------|------|------|------|------|------|------|------|------|------|------|------|------|------|
| | | | 4 | 5 | 6 | 7 | 8 | 10 | 12 | 16 | 18 | 20 | 25 | 30 | 35 | 40 | 45 | 50 |
| 1. TT11001-VP (100 mesh) | 1.0 | 0.23 | 69.0 | 55.2 | 46.0 | 39.4 | 34.5 | 27.6 | 23.0 | 17.3 | 15.3 | 13.8 | 11.0 | 9.2 | 7.9 | 6.9 | 6.0 | 5.2 |
| | 2.0 | 0.32 | 96.0 | 76.8 | 64.0 | 54.9 | 48.0 | 38.4 | 32.0 | 24.0 | 21.3 | 19.2 | 15.4 | 12.8 | 11.0 | 9.6 | 8.4 | 7.2 |
| | 3.0 | 0.39 | 117 | 93.6 | 78.0 | 66.9 | 58.5 | 46.8 | 39.0 | 29.3 | 26.0 | 23.4 | 18.7 | 15.6 | 13.4 | 11.8 | 10.4 | 9.0 |
| | 4.0 | 0.45 | 135 | 108 | 90.0 | 77.1 | 67.5 | 54.0 | 45.0 | 33.8 | 30.0 | 27.0 | 21.6 | 18.0 | 15.4 | 13.6 | 12.0 | 10.4 |
| | 5.0 | 0.50 | 150 | 120 | 100 | 85.7 | 75.0 | 60.0 | 50.0 | 37.5 | 33.3 | 30.0 | 24.0 | 20.0 | 17.1 | 15.0 | 13.2 | 11.5 |
| 2. TT11001S-VP (100 mesh) | 1.0 | 0.34 | 102 | 81.6 | 68.0 | 58.3 | 51.0 | 40.8 | 34.0 | 25.5 | 22.7 | 20.4 | 16.3 | 13.6 | 11.7 | 10.2 | 9.0 | 7.8 |
| | 2.0 | 0.48 | 144 | 115 | 96.0 | 82.3 | 70.8 | 57.6 | 48.0 | 36.0 | 32.0 | 28.8 | 23.0 | 19.2 | 16.5 | 14.4 | 12.8 | 11.2 |
| | 3.0 | 0.59 | 177 | 142 | 118 | 101 | 88.5 | 70.8 | 59.0 | 44.3 | 39.3 | 35.4 | 28.3 | 23.6 | 20.2 | 17.8 | 15.6 | 13.4 |
| | 4.0 | 0.68 | 204 | 163 | 136 | 117 | 102 | 81.6 | 68.0 | 51.0 | 45.3 | 40.8 | 32.6 | 27.2 | 23.3 | 20.4 | 18.0 | 15.6 |
| | 5.0 | 0.76 | 228 | 182 | 152 | 130 | 114 | 91.2 | 76.0 | 57.0 | 50.7 | 45.6 | 36.5 | 30.4 | 26.1 | 22.8 | 20.0 | 17.2 |
| 3. TT11002-VP (50 mesh) | 1.0 | 0.46 | 138 | 110 | 92.0 | 78.9 | 69.0 | 55.2 | 46.0 | 34.5 | 30.7 | 27.6 | 22.1 | 18.4 | 15.8 | 13.8 | 12.2 | 10.6 |
| | 2.0 | 0.65 | 195 | 156 | 130 | 111 | 97.5 | 78.0 | 65.0 | 48.8 | 43.3 | 39.0 | 31.2 | 26.0 | 22.3 | 19.5 | 17.2 | 15.0 |
| | 3.0 | 0.79 | 237 | 190 | 158 | 135 | 119 | 94.8 | 79.0 | 59.3 | 52.7 | 47.4 | 37.9 | 31.6 | 27.1 | 23.8 | 21.2 | 18.8 |
| | 4.0 | 0.91 | 273 | 218 | 182 | 156 | 137 | 109 | 91.0 | 68.3 | 60.7 | 54.6 | 43.7 | 36.4 | 31.2 | 27.6 | 24.8 | 21.6 |
| | 5.0 | 1.02 | 306 | 245 | 204 | 175 | 153 | 122 | 102 | 76.5 | 68.0 | 61.2 | 49.0 | 40.8 | 35.0 | 31.2 | 28.0 | 24.8 |
| 4. TT11003-VP (50 mesh) | 1.0 | 0.63 | 249 | 199 | 166 | 142 | 125 | 99.6 | 83.0 | 62.3 | 55.3 | 49.8 | 39.8 | 33.2 | 28.5 | 24.8 | 21.6 | 18.8 |
| | 2.0 | 0.88 | 354 | 283 | 236 | 202 | 177 | 142 | 118 | 88.5 | 78.0 | 70.8 | 56.6 | 47.2 | 40.5 | 35.6 | 31.6 | 27.6 |
| | 3.0 | 1.08 | 432 | 346 | 288 | 247 | 216 | 173 | 144 | 108 | 96.0 | 86.4 | 69.1 | 57.6 | 49.4 | 43.2 | 38.8 | 34.4 |
| | 4.0 | 1.29 | 483 | 386 | 322 | 276 | 242 | 193 | 161 | 121 | 107 | 96.6 | 77.3 | 64.4 | 55.2 | 48.4 | 43.6 | 38.8 |
| | 5.0 | 1.52 | 546 | 437 | 364 | 312 | 273 | 218 | 182 | 137 | 121 | 109 | 87.4 | 72.8 | 62.4 | 54.4 | 48.8 | 43.2 |



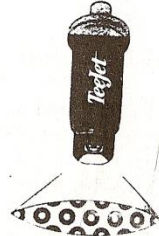
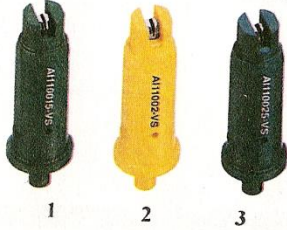
1. İki meme arası mesafe
2. Optimal püskürtme yüksekliği

Optimum püskürtme yüksekliği 50-70 cm dir.

* Turbo Teejet memelerin dağılım profilinde sapma standart yelpaze memelere göre çok azdır.

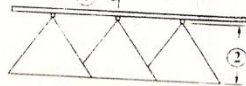
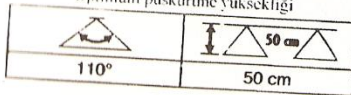
• Al Teejet hava emişli yelpaze meme

- * Venturi sistemi kullanılarak hava ile dolmuş damlalar meydana getirir.
- * Çalışma basınç aralığı 3-8 bar'dır.
- * 3-5 bar basınçlarda sürüklenmeyi azaltan iri damlacıklar üretir.
- * Enine dağılımları çok iyidir.
- * Büyük damlaların hedefe ulaşip çarpması ile oluşan küçük damlacıkların bitki yüzeyine tutunmaları da iyi olur.



| I. (1) | bar | I. dak. | I. ha 50 cm | | | | | | | | | | | | | | | |
|-------------------------|-----|---------|-------------|-----|-----|-----|------|------|------|------|------|------|------|------|------|------|------|------|
| | | | 4 | 5 | 6 | 7 | 8 | 10 | 12 | 16 | 18 | 20 | 25 | 30 | 35 | 40 | 45 | 50 |
| 1. AH10015-VS (50 mesh) | 3.0 | 0.59 | 177 | 142 | 118 | 101 | 88.5 | 70.8 | 59.0 | 44.3 | 39.3 | 35.4 | 28.3 | 23.6 | 20.2 | 17.8 | 15.8 | 14.2 |
| | 3.5 | 0.64 | 192 | 154 | 128 | 110 | 96.0 | 76.8 | 64.0 | 48.0 | 42.7 | 38.4 | 30.7 | 25.6 | 21.9 | 19.4 | 17.2 | 15.4 |
| | 4.0 | 0.68 | 204 | 163 | 136 | 117 | 102 | 81.6 | 68.0 | 51.0 | 45.1 | 40.8 | 32.6 | 27.2 | 23.3 | 20.5 | 18.1 | 16.1 |
| | 4.5 | 0.72 | 216 | 173 | 144 | 123 | 108 | 86.4 | 72.0 | 54.0 | 48.0 | 43.2 | 34.6 | 28.8 | 24.7 | 21.6 | 19.0 | 16.8 |
| | 5.0 | 0.76 | 228 | 182 | 152 | 130 | 114 | 91.2 | 76.0 | 57.0 | 50.7 | 45.6 | 36.5 | 30.4 | 26.1 | 22.8 | 20.0 | 17.6 |
| | 5.5 | 0.80 | 240 | 192 | 160 | 137 | 120 | 96.0 | 80.0 | 60.0 | 53.3 | 48.0 | 38.4 | 32.0 | 27.4 | 24.0 | 21.0 | 18.4 |
| | 6.0 | 0.83 | 249 | 199 | 166 | 142 | 125 | 100 | 83.0 | 62.3 | 55.3 | 49.8 | 39.8 | 33.2 | 28.5 | 25.0 | 21.8 | 19.0 |
| | 6.5 | 0.87 | 261 | 209 | 174 | 149 | 131 | 104 | 87.0 | 65.3 | 58.0 | 52.2 | 41.8 | 34.8 | 29.8 | 26.2 | 22.8 | 19.8 |
| 2. AH1002-VS (50 mesh) | 3.0 | 0.59 | 177 | 142 | 118 | 101 | 88.5 | 70.8 | 59.0 | 44.3 | 39.3 | 35.4 | 28.3 | 23.6 | 20.2 | 17.8 | 15.8 | 14.2 |
| | 3.5 | 0.64 | 192 | 154 | 128 | 110 | 96.0 | 76.8 | 64.0 | 48.0 | 42.7 | 38.4 | 30.7 | 25.6 | 21.9 | 19.4 | 17.2 | 15.4 |
| | 4.0 | 0.68 | 204 | 163 | 136 | 117 | 102 | 81.6 | 68.0 | 51.0 | 45.1 | 40.8 | 32.6 | 27.2 | 23.3 | 20.5 | 18.1 | 16.1 |
| | 4.5 | 0.72 | 216 | 173 | 144 | 123 | 108 | 86.4 | 72.0 | 54.0 | 48.0 | 43.2 | 34.6 | 28.8 | 24.7 | 21.6 | 19.0 | 16.8 |
| | 5.0 | 0.76 | 228 | 182 | 152 | 130 | 114 | 91.2 | 76.0 | 57.0 | 50.7 | 45.6 | 36.5 | 30.4 | 26.1 | 22.8 | 20.0 | 17.6 |
| | 5.5 | 0.80 | 240 | 192 | 160 | 137 | 120 | 96.0 | 80.0 | 60.0 | 53.3 | 48.0 | 38.4 | 32.0 | 27.4 | 24.0 | 21.0 | 18.4 |
| | 6.0 | 0.83 | 249 | 199 | 166 | 142 | 125 | 100 | 83.0 | 62.3 | 55.3 | 49.8 | 39.8 | 33.2 | 28.5 | 25.0 | 21.8 | 19.0 |
| | 6.5 | 0.87 | 261 | 209 | 174 | 149 | 131 | 104 | 87.0 | 65.3 | 58.0 | 52.2 | 41.8 | 34.8 | 29.8 | 26.2 | 22.8 | 19.8 |
| 3. AH10025-VS (50 mesh) | 3.0 | 0.59 | 177 | 142 | 118 | 101 | 88.5 | 70.8 | 59.0 | 44.3 | 39.3 | 35.4 | 28.3 | 23.6 | 20.2 | 17.8 | 15.8 | 14.2 |
| | 3.5 | 0.64 | 192 | 154 | 128 | 110 | 96.0 | 76.8 | 64.0 | 48.0 | 42.7 | 38.4 | 30.7 | 25.6 | 21.9 | 19.4 | 17.2 | 15.4 |
| | 4.0 | 0.68 | 204 | 163 | 136 | 117 | 102 | 81.6 | 68.0 | 51.0 | 45.1 | 40.8 | 32.6 | 27.2 | 23.3 | 20.5 | 18.1 | 16.1 |
| | 4.5 | 0.72 | 216 | 173 | 144 | 123 | 108 | 86.4 | 72.0 | 54.0 | 48.0 | 43.2 | 34.6 | 28.8 | 24.7 | 21.6 | 19.0 | 16.8 |
| | 5.0 | 0.76 | 228 | 182 | 152 | 130 | 114 | 91.2 | 76.0 | 57.0 | 50.7 | 45.6 | 36.5 | 30.4 | 26.1 | 22.8 | 20.0 | 17.6 |
| | 5.5 | 0.80 | 240 | 192 | 160 | 137 | 120 | 96.0 | 80.0 | 60.0 | 53.3 | 48.0 | 38.4 | 32.0 | 27.4 | 24.0 | 21.0 | 18.4 |
| | 6.0 | 0.83 | 249 | 199 | 166 | 142 | 125 | 100 | 83.0 | 62.3 | 55.3 | 49.8 | 39.8 | 33.2 | 28.5 | 25.0 | 21.8 | 19.0 |
| | 6.5 | 0.87 | 261 | 209 | 174 | 149 | 131 | 104 | 87.0 | 65.3 | 58.0 | 52.2 | 41.8 | 34.8 | 29.8 | 26.2 | 22.8 | 19.8 |

Optimum püskürtme yüksekliği



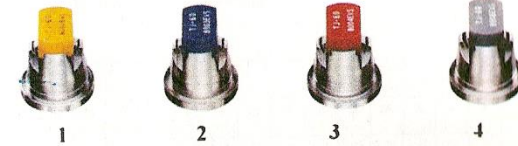
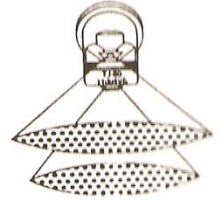
1. İki meme arası mesafe

2. Optimal püskürtme yüksekliği

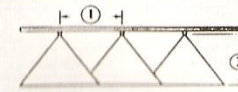
• İkiz Teejet meme



- * Sık yapraklı bitkiler için çift yelpaze ile derin nüfuz etme.
- * Bitki yüzeyinin küçük damlacıklarla kaplanma derecesi yüksektir.
- * Bum boyunca konik melerden daha iyi bir sıvı dağıtımı sağlarlar.
- * Pirinç ve paslanmaz çelikten yapılanlarında püskürtme açısı: 65°-80° ve 110°. çalışma basınç aralığı: 2-5 bar.



| I. (1) | bar | I. dak. | I. ha 50 cm | | | | | | | | | | | | | | | |
|--|-----|---------|-------------|-----|------|------|------|------|------|------|------|------|------|------|------|------|------|------|
| | | | 4 | 5 | 6 | 7 | 8 | 10 | 12 | 16 | 18 | 20 | 25 | 30 | 35 | 40 | 45 | 50 |
| 1. T.60-650134VS (100 mesh) | 2.0 | 0.43 | 129 | 103 | 86.0 | 73.7 | 64.5 | 51.6 | 43.0 | 32.3 | 28.7 | 25.8 | 20.6 | 17.2 | 14.7 | 12.8 | 11.2 | 10.0 |
| | 2.5 | 0.48 | 144 | 115 | 96.0 | 82.3 | 72.0 | 57.6 | 48.0 | 36.0 | 32.0 | 28.8 | 23.0 | 19.2 | 16.5 | 14.4 | 12.4 | 11.0 |
| | 3.0 | 0.53 | 159 | 127 | 106 | 90.9 | 79.5 | 63.6 | 53.0 | 39.8 | 35.3 | 31.8 | 25.4 | 21.2 | 18.1 | 15.6 | 13.6 | 12.0 |
| | 3.5 | 0.57 | 171 | 137 | 114 | 97.7 | 85.5 | 68.4 | 57.0 | 42.8 | 38.0 | 34.2 | 27.4 | 22.8 | 19.5 | 16.8 | 14.4 | 12.4 |
| 2. T.60-6502VS T.60-8002VS T.60-11002VS (100 mesh) | 2.0 | 0.65 | 195 | 156 | 130 | 111 | 97.5 | 78.0 | 65.0 | 48.8 | 43.3 | 39.0 | 31.2 | 26.0 | 22.3 | 19.4 | 16.8 | 14.7 |
| | 2.5 | 0.72 | 216 | 173 | 144 | 123 | 108 | 86.4 | 72.0 | 54.0 | 48.0 | 43.2 | 34.6 | 28.8 | 24.7 | 21.6 | 19.0 | 16.8 |
| | 3.0 | 0.79 | 237 | 190 | 158 | 135 | 119 | 94.8 | 79.0 | 59.3 | 52.7 | 47.4 | 37.9 | 31.6 | 27.1 | 23.3 | 20.0 | 17.6 |
| | 3.5 | 0.85 | 255 | 204 | 170 | 146 | 128 | 105 | 85.0 | 63.8 | 56.7 | 51.0 | 40.8 | 34.0 | 29.1 | 24.7 | 21.0 | 18.4 |
| 3. T.60-6503VS T.60-8003VS T.60-11003VS (100 mesh) | 2.0 | 0.96 | 288 | 230 | 192 | 165 | 144 | 115 | 96.0 | 72.0 | 64.0 | 57.6 | 46.1 | 38.4 | 32.9 | 28.0 | 23.6 | 20.2 |
| | 2.5 | 1.08 | 324 | 259 | 216 | 185 | 162 | 130 | 108 | 81.0 | 72.0 | 64.8 | 51.8 | 41.6 | 35.0 | 30.0 | 25.2 | 21.4 |
| | 3.0 | 1.18 | 354 | 283 | 236 | 202 | 177 | 142 | 118 | 88.5 | 78.0 | 70.8 | 56.6 | 47.2 | 40.5 | 34.4 | 28.8 | 24.0 |
| | 3.5 | 1.27 | 381 | 305 | 254 | 218 | 191 | 152 | 127 | 95.3 | 84.7 | 76.2 | 61.0 | 50.8 | 43.5 | 36.8 | 30.4 | 25.2 |
| 4. T.60-6504VS T.60-8004VS T.60-11004VS (50 mesh) | 2.0 | 1.29 | 387 | 310 | 258 | 221 | 194 | 155 | 129 | 96.8 | 86.0 | 77.4 | 61.9 | 51.6 | 44.2 | 37.0 | 30.4 | 25.2 |
| | 2.5 | 1.44 | 432 | 346 | 288 | 247 | 216 | 173 | 144 | 108 | 96.0 | 86.4 | 69.1 | 57.6 | 49.4 | 41.6 | 34.4 | 28.0 |
| | 3.0 | 1.58 | 474 | 379 | 316 | 271 | 237 | 190 | 158 | 119 | 105 | 94.8 | 75.8 | 63.2 | 54.2 | 45.2 | 37.2 | 30.0 |
| | 3.5 | 1.71 | 513 | 410 | 342 | 293 | 257 | 205 | 171 | 128 | 114 | 103 | 82.1 | 68.4 | 58.6 | 48.4 | 39.2 | 31.2 |
| Optimal püskürtme yüksekliği | 4.0 | 1.82 | 546 | 437 | 364 | 312 | 273 | 218 | 182 | 137 | 121 | 109 | 87.4 | 72.8 | 62.4 | 51.2 | 41.2 | 32.4 |



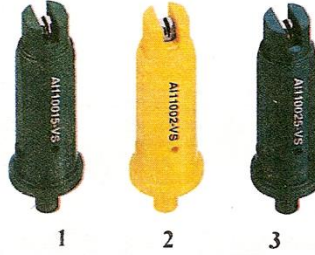
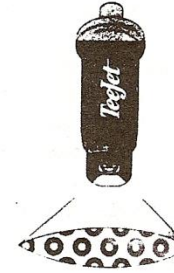
| Optimal püskürtme yüksekliği | 50 cm |
|------------------------------|-------|
| 65° | 80 cm |
| 80° | 75 cm |
| 110° | 50 cm |



1. İki meme arası mesafe

2. Optimal püskürtme yüksekliği

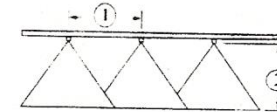
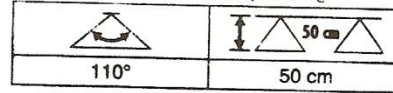
• **AI Teejet hava emişli yelpaze meme**

- * Venturi sistemi kullanılarak hava ile dolmuş damlalar meydana getirir.
- * Çalışma basınç aralığı 3-8 bar'dır.
- * 3-5 bar basınçlarda sürüklenmeyi azaltan iri damlacıklar üretir.
- * Enine dağılımları çok iyidir.
- * Büyük damlaların hedefe ulaşp çarpması ile oluşan küçük damlacıkların bitki yüzeyine tutunmaları da iyi olur.



|  |  | l dak. | l ha | | | | | | | | | | | | | |
|---|---|--------|------|------|------|------|------|------|------|------|------|------|------|------|------|--|
| | | | 4 | 5 | 6 | 7 | 8 | 10 | 12 | 16 | 18 | 20 | 25 | 30 | 35 | |
| bar | | | km/h | km/h | km/h | km/h | km/h | km/h | km/h | km/h | km/h | km/h | km/h | km/h | km/h | |
| 1. AI110015-VS (50 mesh) | 3.0 | 0.59 | 177 | 142 | 118 | 101 | 86.5 | 70.8 | 59.0 | 44.3 | 39.3 | 35.4 | 28.3 | 23.6 | 20.2 | |
| | 3.5 | 0.64 | 192 | 154 | 128 | 110 | 95.0 | 78.0 | 64.0 | 48.0 | 42.7 | 38.4 | 30.7 | 25.6 | 21.9 | |
| | 4.0 | 0.68 | 204 | 163 | 136 | 117 | 102 | 81.6 | 68.0 | 51.0 | 45.3 | 40.8 | 32.6 | 27.2 | 23.3 | |
| | 4.5 | 0.72 | 216 | 173 | 144 | 123 | 108 | 86.4 | 72.0 | 54.0 | 48.0 | 43.2 | 34.6 | 28.8 | 24.7 | |
| | 5.0 | 0.76 | 228 | 182 | 152 | 130 | 114 | 91.2 | 76.0 | 57.0 | 50.7 | 45.6 | 36.5 | 30.4 | 26.1 | |
| | 5.5 | 0.80 | 240 | 192 | 160 | 137 | 120 | 96.0 | 80.0 | 60.0 | 53.3 | 48.0 | 38.4 | 32.0 | 27.4 | |
| | 6.0 | 0.83 | 249 | 199 | 166 | 142 | 125 | 100 | 83.0 | 62.3 | 55.3 | 49.8 | 39.8 | 33.2 | 28.5 | |
| | 6.5 | 0.87 | 261 | 209 | 174 | 149 | 131 | 104 | 87.0 | 65.3 | 58.0 | 52.2 | 41.8 | 34.8 | 29.8 | |
| 2. AI11002-VS (50 mesh) | 7.0 | 0.90 | 270 | 216 | 180 | 154 | 135 | 108 | 90.0 | 67.5 | 60.0 | 54.0 | 43.2 | 36.0 | 30.9 | |
| | 7.5 | 0.96 | 288 | 230 | 192 | 165 | 144 | 115 | 96.0 | 72.0 | 64.0 | 57.6 | 46.1 | 38.4 | 32.9 | |
| | 3.0 | 0.79 | 237 | 190 | 158 | 135 | 119 | 94.8 | 79.0 | 59.3 | 52.7 | 47.4 | 37.9 | 31.6 | 27.1 | |
| | 3.5 | 0.85 | 255 | 204 | 170 | 146 | 128 | 102 | 85.0 | 63.8 | 56.7 | 51.0 | 40.8 | 34.0 | 29.1 | |
| | 4.0 | 0.91 | 273 | 218 | 182 | 156 | 137 | 109 | 91.0 | 68.3 | 60.7 | 54.6 | 43.7 | 36.4 | 31.2 | |
| | 4.5 | 0.97 | 291 | 233 | 194 | 166 | 146 | 116 | 97.0 | 72.8 | 64.7 | 58.2 | 46.6 | 38.8 | 33.3 | |
| | 5.0 | 1.02 | 306 | 245 | 204 | 175 | 153 | 122 | 102 | 76.5 | 68.0 | 61.2 | 49.0 | 40.8 | 35.0 | |
| | 5.5 | 1.07 | 321 | 257 | 214 | 183 | 161 | 128 | 107 | 80.3 | 71.3 | 64.2 | 51.4 | 42.8 | 36.7 | |
| 3. AI110025-VS (50 mesh) | 6.0 | 1.12 | 336 | 269 | 224 | 192 | 168 | 134 | 112 | 84.0 | 74.7 | 67.2 | 53.8 | 44.8 | 38.4 | |
| | 6.5 | 1.16 | 348 | 278 | 232 | 199 | 174 | 139 | 116 | 87.0 | 77.3 | 69.6 | 55.7 | 46.4 | 39.8 | |
| | 7.0 | 1.21 | 363 | 290 | 242 | 207 | 182 | 145 | 121 | 90.8 | 80.7 | 72.6 | 58.1 | 48.4 | 41.5 | |
| | 7.5 | 1.29 | 387 | 310 | 258 | 221 | 194 | 155 | 129 | 96.8 | 86.0 | 77.4 | 61.9 | 51.6 | 44.2 | |
| | 3.0 | 0.99 | 297 | 238 | 196 | 170 | 149 | 119 | 99.0 | 74.3 | 66.0 | 59.4 | 47.5 | 39.6 | 33.9 | |
| | 3.5 | 1.07 | 321 | 257 | 214 | 183 | 161 | 128 | 107 | 80.3 | 71.3 | 64.2 | 51.4 | 42.8 | 36.7 | |
| | 4.0 | 1.14 | 342 | 274 | 228 | 195 | 171 | 137 | 114 | 85.5 | 76.0 | 68.4 | 54.7 | 45.6 | 39.1 | |
| | 4.5 | 1.21 | 363 | 290 | 242 | 207 | 182 | 145 | 121 | 90.8 | 80.7 | 72.6 | 58.1 | 48.4 | 41.5 | |
| 4. AI110025-VS (50 mesh) | 5.0 | 1.28 | 383 | 307 | 262 | 219 | 192 | 154 | 128 | 96.0 | 85.3 | 76.8 | 61.4 | 51.2 | 43.1 | |
| | 5.5 | 1.34 | 402 | 326 | 282 | 238 | 206 | 168 | 138 | 101 | 89.3 | 80.4 | 64.3 | 53.6 | 45.0 | |
| | 6.0 | 1.40 | 420 | 336 | 280 | 240 | 210 | 176 | 146 | 110 | 97.3 | 84.0 | 67.2 | 56.0 | 46.8 | |
| | 6.5 | 1.46 | 438 | 350 | 292 | 250 | 219 | 175 | 146 | 110 | 97.3 | 84.0 | 67.2 | 56.0 | 46.8 | |
| | 7.0 | 1.51 | 453 | 362 | 302 | 259 | 227 | 181 | 151 | 113 | 101 | 90.6 | 72.5 | 60.4 | 51.5 | |
| | 7.5 | 1.52 | 466 | 369 | 324 | 278 | 243 | 194 | 162 | 122 | 108 | 97.2 | 77.8 | 64.8 | 55.1 | |

Optimum püskürtme yüksekliği

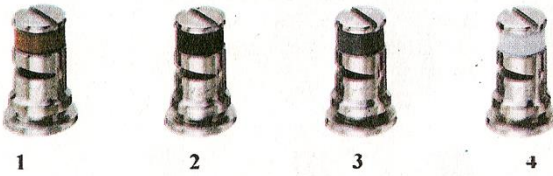
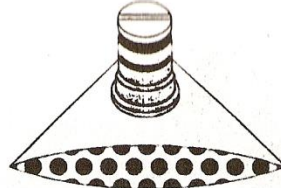







1. İki meme arası mesafe

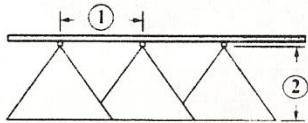
2. Optimal püskürtme yüksekliği

• Geniş açılı yelpaze meme

- * Çalışma basınç aralığı: 0.7-2 bar.
- * Çıkarılabilir ön orifis drifti azaltan büyük damlacıklar üretir.
- * Büyük, yuvarlak orifis tıkanmayı azaltır.
- * Bum boyunca düzgün bir kaplama, iyi bir püskürtme dağılımı.



|  () bar |  1 dak. | 1 ha  75cm | | | | | | | | | | 1 ha  100cm | | | | | | | | | |
|---|---|---|------|------|------|------|------|------|------|------|------|--|------|------|------|------|------|------|--|--|--|
| | | 4 | 6 | 8 | 10 | 12 | 16 | 20 | 25 | 4 | 6 | 8 | 10 | 12 | 16 | 20 | 25 | | | | |
| | | km/h | km/h | km/h | km/h | km/h | km/h | km/h | km/h | km/h | km/h | km/h | km/h | km/h | km/h | km/h | km/h | km/h | | | |
| 1. TF-VS2 TF-VP2 (50 mesh) | 1.0 | 0.91 | 182 | 121 | 91.0 | 72.8 | 60.7 | 45.5 | 36.4 | 29.1 | 137 | 91.0 | 68.3 | 54.6 | 45.5 | 34.1 | 27.3 | 21.8 | | | |
| | 1.5 | 1.11 | 222 | 148 | 111 | 88.8 | 74.0 | 55.5 | 44.4 | 35.5 | 167 | 111 | 83.3 | 66.6 | 55.5 | 41.6 | 33.3 | 26.6 | | | |
| | 2.0 | 1.29 | 258 | 172 | 129 | 103 | 86.0 | 64.5 | 51.6 | 41.3 | 194 | 129 | 96.8 | 77.4 | 64.5 | 48.4 | 38.7 | 31.0 | | | |
| | 2.5 | 1.44 | 288 | 192 | 144 | 115 | 96.0 | 72.0 | 57.6 | 46.1 | 216 | 144 | 108 | 86.4 | 72.0 | 54.0 | 43.2 | 34.6 | | | |
| 3.0 | 1.58 | 316 | 211 | 158 | 126 | 105 | 79.1 | 63.2 | 50.6 | 237 | 158 | 119 | 94.8 | 79.0 | 59.3 | 47.4 | 37.9 | | | | |
| 2. TF-VS2.5 TF-VP2.5 (50 mesh) | 1.0 | 1.14 | 228 | 152 | 114 | 91.2 | 76.0 | 57.0 | 45.6 | 36.5 | 171 | 114 | 85.5 | 68.4 | 57.0 | 42.8 | 34.2 | 27.4 | | | |
| | 1.5 | 1.40 | 280 | 187 | 140 | 112 | 93.3 | 70.0 | 56.0 | 44.8 | 210 | 140 | 105 | 84.0 | 70.0 | 52.5 | 42.0 | 33.6 | | | |
| | 2.0 | 1.61 | 322 | 215 | 161 | 129 | 107 | 80.5 | 64.4 | 51.5 | 242 | 161 | 121 | 96.6 | 80.5 | 60.4 | 48.3 | 38.6 | | | |
| | 2.5 | 1.80 | 360 | 240 | 180 | 144 | 120 | 90.0 | 72.0 | 57.6 | 270 | 180 | 135 | 108 | 90.0 | 67.5 | 54.0 | 43.2 | | | |
| 3.0 | 1.97 | 394 | 263 | 197 | 158 | 131 | 98.5 | 78.8 | 63.0 | 296 | 197 | 148 | 118 | 98.5 | 73.9 | 59.1 | 47.3 | | | | |
| 3. TF-VS3 TF-VP3 (50 mesh) | 1.0 | 1.37 | 274 | 183 | 137 | 110 | 91.3 | 68.5 | 54.8 | 43.8 | 206 | 137 | 103 | 82.2 | 68.5 | 51.4 | 41.1 | 32.9 | | | |
| | 1.5 | 1.68 | 336 | 224 | 168 | 134 | 112 | 84.0 | 67.2 | 53.8 | 252 | 168 | 126 | 101 | 84.0 | 63.0 | 50.4 | 40.3 | | | |
| | 2.0 | 1.94 | 368 | 259 | 194 | 155 | 129 | 97.0 | 77.6 | 62.1 | 291 | 194 | 146 | 116 | 97.0 | 72.8 | 58.2 | 46.6 | | | |
| | 2.5 | 2.17 | 434 | 289 | 217 | 174 | 145 | 109 | 86.8 | 69.4 | 326 | 217 | 163 | 130 | 109 | 81.4 | 65.1 | 52.1 | | | |
| 3.0 | 2.37 | 474 | 316 | 237 | 190 | 158 | 119 | 94.8 | 75.8 | 356 | 237 | 178 | 142 | 119 | 88.9 | 71.1 | 56.9 | | | | |
| 4. TF-VS4 TF-VP4 | 1.0 | 1.82 | 364 | 243 | 182 | 146 | 121 | 91.0 | 72.8 | 58.2 | 273 | 182 | 137 | 109 | 91.0 | 68.3 | 54.6 | 43.7 | | | |
| | 1.5 | 2.23 | 446 | 297 | 223 | 178 | 149 | 112 | 89.2 | 71.4 | 335 | 223 | 167 | 134 | 112 | 83.6 | 66.9 | 53.5 | | | |
| | 2.0 | 2.57 | 514 | 343 | 257 | 206 | 171 | 129 | 103 | 82.2 | 386 | 257 | 193 | 154 | 129 | 96.4 | 77.1 | 61.7 | | | |
| | 2.5 | 2.88 | 576 | 384 | 288 | 230 | 192 | 144 | 115 | 92.2 | 432 | 288 | 216 | 173 | 144 | 106 | 86.4 | 69.1 | | | |
| 3.0 | 3.15 | 630 | 420 | 315 | 252 | 210 | 158 | 126 | 101 | 473 | 315 | 236 | 189 | 158 | 118 | 94.5 | 75.6 | | | | |



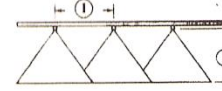
1. İki meme arası mesafe
2. Optimal püskürtme yüksekliği

| Optimum püskürtme yüksekliği | |
|------------------------------|--------|
| 75 cm | 75 cm |
| 100 cm | 100 cm |

• Geniş açılı turbo yelpaze memeler (Quick)

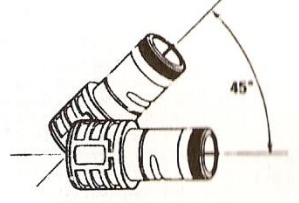





- * Ön orifis sayesinde drifti büyük damlalar üretir.
- * Geniş yuvarlak orifis tıkanma problemlerini ortadan kaldırır.
- * Meme yanındaki bir yarık memenin tüm çabuk bağlantı düzenlerine uyumunu hızlanmasını sağlar.
- * 1-3 bar basınçlarda debisi 7-95 l/dakikadır.
- * Aşağıdaki tabloda bu memeye değişik basınç ve ilerleme hızında hektara verilecek ilaçlı sıvı miktarları verilmektedir.



1. İki meme arası mesafe
2. Optimal püskürtme yüksekliği

| Optimal püskürtme yüksekliği | |
|------------------------------|--------|
| 100 cm | 100 cm |
| 150 cm | 150 cm |



| |  | 1. dak. |  1/ha | | | | | | | | | | | |  1/ha | | | | | | | | | | | | | | | |
|-----------|---|---------|--|------|------|------|------|------|------|------|------|------|------|------|--|------|------|------|------|------|------|------|------|------|------|------|------|------|------|------|
| | | | 4 | 6 | 8 | 10 | 12 | 14 | 16 | 20 | 25 | 30 | 4 | 6 | 8 | 10 | 12 | 14 | 16 | 20 | 25 | 30 | | | | | | | | |
| | | bur | km/h | km/h | km/h | km/h | km/h | km/h | km/h | km/h | km/h | km/h | km/h | km/h | km/h | km/h | km/h | km/h | km/h | km/h | km/h | km/h | km/h | km/h | km/h | km/h | km/h | km/h | km/h | km/h |
| QCTF-VS15 | 1.0 | 0.84 | 1026 | 684 | 513 | 410 | 342 | 293 | 257 | 205 | 164 | 137 | 884 | 456 | 342 | 274 | 228 | 195 | 171 | 137 | 109 | | | | | | | | | |
| | 1.5 | 0.38 | 1257 | 838 | 629 | 503 | 419 | 359 | 314 | 251 | 201 | 168 | 838 | 559 | 419 | 335 | 279 | 239 | 210 | 168 | 134 | | | | | | | | | |
| | 2.0 | 0.87 | 1451 | 967 | 725 | 580 | 484 | 414 | 363 | 290 | 232 | 193 | 967 | 646 | 484 | 387 | 322 | 276 | 242 | 193 | 155 | | | | | | | | | |
| | 3.0 | 1.185 | 1776 | 1185 | 889 | 711 | 593 | 508 | 444 | 356 | 284 | 237 | 1185 | 790 | 593 | 474 | 395 | 339 | 299 | 237 | 190 | | | | | | | | | |
| QCTF-VS20 | 1.0 | 0.12 | 1380 | 912 | 684 | 547 | 456 | 391 | 342 | 274 | 219 | 182 | 912 | 608 | 456 | 365 | 304 | 261 | 228 | 182 | 148 | | | | | | | | | |
| | 1.5 | 1.17 | 1676 | 117 | 838 | 670 | 559 | 479 | 419 | 335 | 269 | 223 | 1177 | 745 | 559 | 447 | 372 | 319 | 279 | 223 | 179 | | | | | | | | | |
| | 2.0 | 12.80 | 1835 | 1280 | 988 | 774 | 645 | 553 | 484 | 387 | 310 | 258 | 1280 | 880 | 645 | 516 | 430 | 369 | 323 | 268 | 210 | | | | | | | | | |
| | 3.0 | 15.80 | 2370 | 1580 | 1185 | 948 | 790 | 677 | 593 | 474 | 379 | 316 | 1580 | 1053 | 790 | 632 | 527 | 451 | 385 | 316 | 253 | | | | | | | | | |
| QCTF-VS30 | 1.0 | 13.67 | 2051 | 1367 | 1025 | 820 | 684 | 586 | 513 | 410 | 328 | 273 | 1367 | 911 | 684 | 547 | 456 | 391 | 342 | 273 | 219 | | | | | | | | | |
| | 1.5 | 16.64 | 2511 | 1674 | 1256 | 1004 | 837 | 717 | 628 | 502 | 402 | 335 | 1674 | 1116 | 837 | 670 | 558 | 478 | 419 | 335 | 268 | | | | | | | | | |
| | 2.0 | 19.33 | 2900 | 1933 | 1450 | 1180 | 967 | 828 | 725 | 580 | 464 | 387 | 1933 | 1289 | 967 | 773 | 644 | 552 | 483 | 387 | 304 | | | | | | | | | |
| | 3.0 | 23.88 | 3552 | 2388 | 1776 | 1421 | 1184 | 1015 | 889 | 710 | 568 | 474 | 2388 | 1579 | 1184 | 947 | 789 | 677 | 582 | 474 | 379 | | | | | | | | | |
| QCTF-VS40 | 1.0 | 18.23 | 2735 | 1823 | 1387 | 1094 | 912 | 781 | 684 | 547 | 438 | 365 | 1823 | 1215 | 912 | 728 | 608 | 521 | 454 | 385 | 307 | | | | | | | | | |
| | 1.5 | 22.33 | 3250 | 2233 | 1675 | 1340 | 1117 | 957 | 827 | 670 | 538 | 447 | 2233 | 1480 | 1117 | 883 | 744 | 638 | 558 | 447 | 357 | | | | | | | | | |
| | 2.0 | 25.78 | 3887 | 2578 | 1934 | 1547 | 1289 | 1106 | 967 | 773 | 619 | 516 | 2578 | 1719 | 1289 | 1031 | 859 | 737 | 645 | 516 | 412 | | | | | | | | | |
| | 3.0 | 31.58 | 4737 | 3158 | 2389 | 1895 | 1579 | 1353 | 1184 | 947 | 758 | 632 | 3158 | 2105 | 1579 | 1263 | 1063 | 902 | 790 | 632 | 505 | | | | | | | | | |
| QCTF-VS50 | 1.0 | 22.79 | 3419 | 2279 | 1708 | 1387 | 1140 | 977 | 855 | 684 | 547 | 456 | 2279 | 1519 | 1140 | 912 | 760 | 651 | 570 | 456 | 368 | | | | | | | | | |
| | 1.5 | 27.91 | 4187 | 2791 | 2088 | 1675 | 1386 | 1186 | 1047 | 837 | 670 | 558 | 2791 | 1881 | 1386 | 1116 | 930 | 797 | 688 | 558 | 447 | | | | | | | | | |
| | 2.0 | 32.23 | 4835 | 3223 | 2417 | 1934 | 1612 | 1381 | 1209 | 967 | 774 | 645 | 3223 | 2140 | 1612 | 1289 | 1074 | 921 | 806 | 645 | 516 | | | | | | | | | |
| | 3.0 | 39.47 | 5921 | 3947 | 2960 | 2388 | 1974 | 1692 | 1480 | 1184 | 947 | 789 | 3947 | 2631 | 1974 | 1579 | 1316 | 1126 | 967 | 789 | 632 | | | | | | | | | |

8 Delikli sıvı gübre memesi

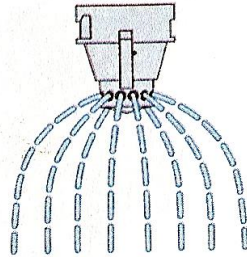
Sadece sıvı gübrelerin verilmesinde kullanılırlar.

Çalışma basınç aralığı 1-3 bardır.

Sıvı bir sıvı gübre dağılımı ve büyük damlada minimum sürüklenme,

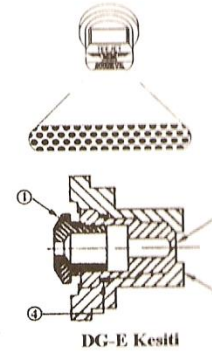
Yarım daire püskürtme deseni.

Şekildeki meme plakası değiştirilerek debi değerleri de değiştirilebilir. Bu durum aşağıdaki tabloda görülmektedir.



• E-Tipi DG Teejet yelpaze meme

- * Band ve sıra arası ilaçlamaları için idealdirler,
- * Püskürtme açıları 95°'dir,
- * Sistemik tesirli ilaçların verilmesinde kullanılırlar,
- * Sürüklenme tehlikesi olmayan iri damlacıklar verirler,
- * Çalışma basınç aralıkları: 1,5-3 bar,
- * Meme ucunda görev yapan çıkarılabilir dozaj plakası (1) orta ile büyük damlalar oluştururlar ve sürüklenme tehlikesini azaltırlar.
- * Püskürtme genişliğinde yeknesak bir dağılım sağlarlar,
- * Bum'daki yerlerine takılmaları kolaydır.



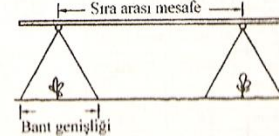
DG-E Kesiti

1. Çıkarılabilir dozaj plakası
2. Meme
3. Meme gövdesi
4. O-Ring



| | bar | l/dak. | l/ha $\Delta 50\text{ cm}$ | | | | | | l/ha $\Delta 75\text{ cm}$ | | | | | |
|-------------------------------|-----|--------|----------------------------|------|------|------|------|------|----------------------------|------|------|------|------|------|
| | | | 4 | 6 | 8 | 10 | 15 | 20 | 4 | 6 | 8 | 10 | 15 | 20 |
| 1. DG9501EVS (100 mesh) | 2.0 | 0.48 | 144 | 96.0 | 72.0 | 57.6 | 38.4 | 28.8 | 96.0 | 64.0 | 48.0 | 38.4 | 25.6 | 19.2 |
| | 2.5 | 0.54 | 162 | 108 | 81.0 | 64.8 | 43.2 | 32.4 | 108 | 72.0 | 54.0 | 43.2 | 28.8 | 21.6 |
| | 3.0 | 0.59 | 177 | 118 | 88.5 | 70.8 | 47.2 | 35.4 | 118 | 78.7 | 59.0 | 47.2 | 31.5 | 23.6 |
| | 4.0 | 0.68 | 204 | 136 | 102 | 81.6 | 54.4 | 40.8 | 136 | 90.7 | 68.0 | 54.4 | 36.3 | 27.2 |
| 2. DG9502EVS (50 mesh) | 2.0 | 0.65 | 195 | 130 | 97.5 | 78.0 | 52.0 | 39.0 | 130 | 86.7 | 65.0 | 52.0 | 34.7 | 26.0 |
| | 2.5 | 0.72 | 216 | 144 | 108 | 86.4 | 57.6 | 43.2 | 144 | 96.0 | 72.0 | 57.6 | 38.4 | 28.8 |
| | 3.0 | 0.79 | 237 | 158 | 119 | 94.8 | 63.2 | 47.4 | 158 | 105 | 79.0 | 63.2 | 42.1 | 31.6 |
| | 4.0 | 0.91 | 273 | 182 | 137 | 109 | 72.8 | 54.6 | 182 | 121 | 91.0 | 72.8 | 48.5 | 36.4 |
| 3. DG9503EVS (50 mesh) | 2.0 | 0.96 | 288 | 192 | 144 | 115 | 76.8 | 57.6 | 192 | 128 | 96.0 | 76.8 | 51.2 | 38.4 |
| | 2.5 | 1.08 | 324 | 216 | 162 | 130 | 86.4 | 64.8 | 216 | 144 | 108 | 86.4 | 57.6 | 43.2 |
| | 3.0 | 1.18 | 354 | 236 | 177 | 142 | 94.4 | 70.8 | 236 | 157 | 118 | 94.4 | 62.9 | 47.2 |
| | 4.0 | 1.36 | 408 | 272 | 204 | 163 | 109 | 81.6 | 272 | 181 | 136 | 109 | 72.5 | 54.4 |
| 4. DG9504EVS (50 mesh) | 2.0 | 1.29 | 387 | 258 | 194 | 155 | 103 | 77.4 | 258 | 172 | 129 | 103 | 68.8 | 51.0 |
| | 2.5 | 1.44 | 432 | 288 | 216 | 173 | 115 | 86.4 | 288 | 192 | 144 | 115 | 76.8 | 57.6 |
| | 3.0 | 1.58 | 474 | 316 | 237 | 190 | 126 | 94.8 | 316 | 211 | 158 | 126 | 84.3 | 63.2 |
| | 4.0 | 1.82 | 546 | 364 | 273 | 218 | 146 | 109 | 364 | 243 | 182 | 146 | 97.1 | 72.8 |
| 5. DG9505EVS (50 mesh) | 2.0 | 1.61 | 483 | 322 | 242 | 193 | 129 | 96.6 | 322 | 215 | 161 | 129 | 85.9 | 64.4 |
| | 2.5 | 1.80 | 540 | 360 | 270 | 216 | 144 | 108 | 360 | 240 | 180 | 144 | 96.0 | 72.0 |
| | 3.0 | 1.97 | 591 | 394 | 296 | 236 | 158 | 118 | 394 | 263 | 197 | 158 | 105 | 78.8 |
| | 4.0 | 2.27 | 681 | 454 | 341 | 272 | 182 | 136 | 454 | 303 | 227 | 182 | 121 | 90.8 |

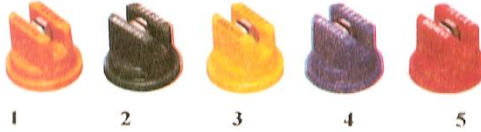
| | Çevirme faktörü (l/ha)* | | |
|-------|-------------------------|-------|-------|
| | | 30 cm | 75 cm |
| 20 cm | 10 cm | 2.5 | 3.8 |
| 25 cm | 13 cm | 2.0 | 3.0 |
| 30 cm | 15 cm | 1.7 | 2.5 |
| 40 cm | 20 cm | 1.3 | 1.9 |



* Band ilaçlamalarında hektara verilecek ilaç sıvı miktarını (l/ha) bulmak için sıraya ilaçlamada kullanılan değer, tablodaki çevirme faktörü ile çarpılır.

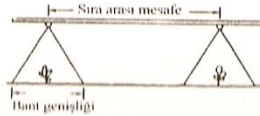
*** E-Tipi Standart Teejet yelpaze memeler**

- * Band ve sıra arası ilaçlamaları için idealdir.
- * Püskürtme genişliğinde yeknesak bir dağılım sağlarlar.
- * Çalışma basıncı aralığı: 1,5-3 bar'dır.
- * Bunu üzerindeki yerlerine takılmaları kolaydır.
- * Yapıldıkları malzemeye göre püskürtme açıları:
Pirinç: 40°, 65°, 80°, 95°.
Paslanmaz çelik: 40°, 65°, 80°, 95°.
Sertleştirilmiş çelik: 40°, 65°, 80°.
- * Visi Flo-renkli kodda: 80°.



| Teejet | bar | l/dak | 1/ha Δ 50 cm Δ | | | | | | 1/ha Δ 75 cm Δ | | | | | |
|--------------|-----|-------|------------------------------|------|------|------|------|------|------------------------------|------|------|------|------|------|
| | | | 4 | 6 | 8 | 10 | 15 | 20 | 4 | 6 | 8 | 10 | 15 | 20 |
| 1 TP4001E * | 2.0 | 0.32 | 96.0 | 64.0 | 48.0 | 38.4 | 25.6 | 19.2 | 64.0 | 42.7 | 32.0 | 25.6 | 17.1 | 12.8 |
| TP6501E * | 2.5 | 0.36 | 108 | 72.0 | 54.0 | 43.2 | 28.8 | 21.6 | 72.0 | 48.0 | 36.0 | 28.8 | 19.2 | 14.4 |
| TP8001E * | 3.0 | 0.39 | 117 | 78.0 | 58.5 | 46.8 | 31.2 | 23.4 | 78.0 | 52.0 | 39.0 | 31.2 | 20.8 | 15.6 |
| TP9501E * | 4.0 | 0.45 | 135 | 90.0 | 67.5 | 54.0 | 36.0 | 27.0 | 90.0 | 60.0 | 45.0 | 36.0 | 24.0 | 18.0 |
| 2 TP4001SE * | 2.0 | 0.40 | 144 | 96.0 | 72.0 | 57.6 | 38.4 | 28.8 | 96.0 | 64.0 | 48.0 | 38.4 | 25.6 | 19.2 |
| TP6501SE * | 2.5 | 0.54 | 162 | 108 | 81.0 | 64.8 | 43.2 | 32.4 | 108 | 72.0 | 54.0 | 43.2 | 28.8 | 21.6 |
| TP8001SE * | 3.0 | 0.59 | 177 | 118 | 88.5 | 70.8 | 47.2 | 35.4 | 118 | 78.7 | 59.0 | 47.2 | 31.5 | 23.6 |
| TP9501SE * | 4.0 | 0.68 | 204 | 136 | 102 | 81.6 | 54.4 | 40.8 | 136 | 90.7 | 68.0 | 54.4 | 36.3 | 27.2 |
| 3 TP4002E * | 2.0 | 0.65 | 195 | 130 | 97.5 | 78.0 | 52.0 | 39.0 | 130 | 86.7 | 65.0 | 52.0 | 34.7 | 26.0 |
| TP6502E * | 2.5 | 0.72 | 216 | 144 | 108 | 86.4 | 57.6 | 43.2 | 144 | 96.0 | 72.0 | 57.6 | 38.4 | 28.8 |
| TP8002E * | 3.0 | 0.79 | 237 | 158 | 119 | 94.8 | 63.2 | 47.4 | 158 | 105 | 79.0 | 63.2 | 42.1 | 31.6 |
| TP9502E * | 4.0 | 0.91 | 273 | 182 | 137 | 109 | 72.8 | 54.6 | 182 | 121 | 91.0 | 72.8 | 48.5 | 36.4 |
| 4 TP4003E * | 2.0 | 0.96 | 288 | 192 | 144 | 115 | 76.8 | 57.6 | 192 | 128 | 96.0 | 76.8 | 51.2 | 38.4 |
| TP6503E * | 2.5 | 1.08 | 324 | 216 | 162 | 130 | 86.4 | 64.8 | 216 | 144 | 108 | 86.4 | 57.6 | 43.2 |
| TP8003E * | 3.0 | 1.18 | 354 | 236 | 177 | 142 | 94.4 | 70.8 | 236 | 157 | 118 | 94.4 | 62.9 | 47.2 |
| TP9503E * | 4.0 | 1.36 | 408 | 272 | 204 | 163 | 109 | 81.6 | 272 | 181 | 136 | 109 | 72.5 | 54.4 |
| 5 TP4004E * | 2.0 | 1.29 | 387 | 258 | 194 | 155 | 103 | 77.4 | 258 | 172 | 129 | 103 | 68.8 | 51.6 |
| TP6504E * | 2.5 | 1.44 | 432 | 288 | 216 | 173 | 115 | 86.4 | 288 | 192 | 144 | 115 | 76.8 | 57.6 |
| TP8004E * | 3.0 | 1.58 | 474 | 316 | 237 | 190 | 126 | 94.8 | 316 | 211 | 158 | 126 | 84.3 | 63.2 |
| TP9504E * | 4.0 | 1.82 | 546 | 364 | 273 | 218 | 146 | 109 | 364 | 243 | 182 | 146 | 97.1 | 72.8 |

| Çevirme faktörü (1/ha)* | | | | |
|-------------------------|-------|-------|-------|-----|
| 80° | 95° | 50 cm | 75 cm | |
| 20 cm | 13 cm | 10 cm | 2.5 | 3.8 |
| 25 cm | 15 cm | 13 cm | 2.0 | 3.0 |
| 30 cm | 18 cm | 15 cm | 1.7 | 2.5 |
| 40 cm | 23 cm | 20 cm | 1.3 | 1.9 |







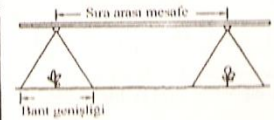
* Band ilaçlamalarında hektara verilecek ilaç sıvı miktarını (l/ha) bulmak için sıraya ilaçlamada kullanılan diğer tablodaki çevirme faktörü ile çarpılır.

- * E-Tipi ilâz yelpaze meme
- * Band ve sıra arası ilaçlamaları için idealdir.
- * Küçük damlacıkların kaplamaları iyidir.
- * İki eğik yelpaze hüzenin yoğun yapraklı bitkiye nüfuzu iyidir.
- * Püskürtme açısı 40° veya 80°'dir.
- * Püskürtme basıncı 2-4 bar'dır.
- * İlaç yelpaze memelerde normal yelpaze memeler gibi eşit büyüklükte küçük damlacıklar hasil ederler.
- * Toplam yelpaze kesiti üzerinde ilâç sıvı dağılımı düzgündür.



| Teejet | bar | l/dak | 1/ha Δ 50 cm Δ | | | | | | 1/ha Δ 75 cm Δ | | | | | |
|---------------|-----|-------|------------------------------|-----|------|------|------|------|------------------------------|------|------|------|------|------|
| | | | 4 | 6 | 8 | 10 | 15 | 20 | 4 | 6 | 8 | 10 | 15 | 20 |
| 1. TP4001E VS | 2.0 | 0.65 | 195 | 130 | 97.5 | 78.0 | 52.0 | 39.0 | 130 | 86.7 | 65.0 | 52.0 | 34.7 | 26.0 |
| TP6501E VS | 2.5 | 0.72 | 216 | 144 | 108 | 86.4 | 57.6 | 43.2 | 144 | 96.0 | 72.0 | 57.6 | 38.4 | 28.8 |
| TP8001E VS | 3.0 | 0.79 | 237 | 158 | 119 | 94.8 | 63.2 | 47.4 | 158 | 105 | 79.0 | 63.2 | 42.1 | 31.6 |
| TP9501E VS | 4.0 | 0.91 | 273 | 182 | 137 | 109 | 72.8 | 54.6 | 182 | 121 | 91.0 | 72.8 | 48.5 | 36.4 |
| 2. TP4002E VS | 2.0 | 0.96 | 288 | 192 | 144 | 115 | 76.8 | 57.6 | 192 | 128 | 96.0 | 76.8 | 51.2 | 38.4 |
| TP6502E VS | 2.5 | 1.08 | 324 | 216 | 162 | 130 | 86.4 | 64.8 | 216 | 144 | 108 | 86.4 | 57.6 | 43.2 |
| TP8002E VS | 3.0 | 1.18 | 354 | 236 | 177 | 142 | 94.4 | 70.8 | 236 | 157 | 118 | 94.4 | 62.9 | 47.2 |
| TP9502E VS | 4.0 | 1.36 | 408 | 272 | 204 | 163 | 109 | 81.6 | 272 | 181 | 136 | 109 | 72.5 | 54.4 |
| 3. TP4003E VS | 2.0 | 1.29 | 387 | 258 | 194 | 155 | 103 | 77.4 | 258 | 172 | 129 | 103 | 68.8 | 51.6 |
| TP6503E VS | 2.5 | 1.44 | 432 | 288 | 216 | 173 | 115 | 86.4 | 288 | 192 | 144 | 115 | 76.8 | 57.6 |
| TP8003E VS | 3.0 | 1.58 | 474 | 316 | 237 | 190 | 126 | 94.8 | 316 | 211 | 158 | 126 | 84.3 | 63.2 |
| TP9503E VS | 4.0 | 1.82 | 546 | 364 | 273 | 218 | 146 | 109 | 364 | 243 | 182 | 146 | 97.1 | 72.8 |
| 4. TP4004E VS | 2.0 | 1.94 | 582 | 388 | 291 | 233 | 155 | 116 | 388 | 259 | 194 | 155 | 103 | 77.6 |
| TP6504E VS | 2.5 | 2.16 | 648 | 432 | 324 | 259 | 173 | 130 | 432 | 288 | 216 | 173 | 115 | 86.4 |
| TP8004E VS | 3.0 | 2.37 | 711 | 474 | 356 | 284 | 190 | 142 | 474 | 316 | 237 | 190 | 126 | 94.8 |
| TP9504E VS | 4.0 | 2.74 | 822 | 540 | 411 | 329 | 219 | 164 | 540 | 365 | 274 | 219 | 146 | 110 |

|  |  | Çevirme faktörü (1/ha)* | | | |
|---|---|-------------------------|---|---|--|
| | 40° | 80° |  |  | |
| 20 cm | 25 cm | 13 cm | 2.5 | 3.8 | |
| 25 cm | 30 cm | 15 cm | 2.0 | 3.0 | |
| 30 cm | 36 cm | 18 cm | 1.7 | 2.5 | |
| 40 cm | 48 cm | 23 cm | 1.3 | 1.9 | |



* Band ilaçlamalarında hektara verilecek ilaç sıvı miktarını (l/ha) bulmak için sıraya ilaçlamada kullanılan diğer tablodaki çevirme faktörü ile çarpılır.